

MICROFOSSILI E MICROFACIES  
DEL TRIASSICO SUPERIORE - LIAS INFERIORE  
“PALEOPIATTAFORMA”  
MICROFOSSILS AND MICROFACIES  
OF THE UPPER TRIAS-LOWER LIAS  
“PALEOPLATFORM”

TAVOLE / PLATES 1 - 25

## 2. - MICROFOSSILI E MICROFACIES DEL TRIASSICO SUPERIORE - LIAS INFERIORE “PALEOPIATTAFORMA” (TAVOLE 1 - 25)

Le successioni carbonatiche di “paleopiattaforma” del Lazio meridionale sono caratterizzate da calcari laminati stromatolitici e dolomie a Megalodontidi con frequenti intercalazioni di calcari granulo-sostenuti ricchi di Foraminiferi bentonici (*Involutinidae*, *Duostominidae*, ecc.) e di Alghe calcaree riferibili al Triassico superiore (Retico). Verso l’alto si ritrovano calcari dolomitizzati con rare intercalazioni di calcari composti prevalentemente da *Thaumatoaporella* del Lias inferiore (Hettangiano - Sinemuriano inferiore).

In Abruzzo le unità triassiche affioranti nell’area del Gran Sasso d’Italia sono in buona parte simili a quelle sopra descritte (CHIOCCHINI & MANCINELLI, 1978). Tali unità sono sovrastate dal Calcare Massiccio del Lias inferiore (PETTI et alii, 2007; Calcare Massiccio “A” sensu CENTAMORE et alii, 1971; “Calcare massiccio del Monte Nerone” pars di CENTAMORE et alii, 1975) a luoghi in gran parte dolomitizzato (“Dolomie di Castelmanfrino” pars di CRESCENTI et alii, 1969).

Le correlazioni biostratigrafiche e cronostatigrafiche tra le biozone del Triassico superiore e del Lias inferiore (pars) nelle due aree citate sono mostrate nella figura 8. Nella figura 9 e 10 sono rappresentate le carte di distribuzione dei fossili più significativi riconosciuti nella “paleopiattaforma” rispettivamente nel Lazio meridionale e in Abruzzo.

## 2. - MICROFOSSILS AND MICROFACIES OF THE UPPER TRIAS-LOWER LIAS “PALEOPLATFORM” (PLATES 1 - 25)

The carbonate successions of the “Paleoplatform” in the southern Latium are characterized by laminated stromatolitic limestones and Megalodontid dolostones, with intercalated grainstones rich in benthic foraminifers (*Involutinidae*, *Duostominidae*, etc.) and Upper Triassic (Raethian) Calcareous Algae. Upward dolomitized limestones occur, with rare intercalated *Thaumatoaporella* limestones (Hettangian-lower Sinemurian).

In Abruzzo, similar triassic units outcrop also in the Gran Sasso d’Italia area, overlain by the lower Liassic Calcare Massiccio (PETTI et alii, 2007; Calcare Massiccio “A” sensu CENTAMORE et alii, 1971; “Calcare massiccio del Monte Nerone” pars di CENTAMORE et alii, 1975), locally dolomitized (“Dolomie di Castelmanfrino” pars of CRESCENTI et alii, 1969).

Biostratigraphic and chronostratigraphic correlations among Upper Trias and Lower Lias units of the cited areas are shown in figure 8. The figure 9 illustrates the range chart of the most significant fossils of the “Paleoplatform” in Southern Latium.

Finally, the figure 10 illustrates the range chart of the most significant fossils of the “Paleoplatform” outcropping in Abruzzi.

SCALA CRONOSTRATIGRAFICA			“PALEOPIATTAFORMA”		
LIAS	inferiore (pars)	SINEMURIANO inferiore	LAZIO MERIDIONALE	ABRUZZO	
		HETTANGIANO	BIOZONE	BIOZONE	
		Thaumatoporella parvovesiculifera		Palaeodasycladus mediterraneus e “Rivularia” piae	
				Valvulinida e Rivulariaceae	
TRIAS	superiore	RETICO		Triasina hantkeni e Griphoporella curvata	
				Triasina hantkeni e Griphoporella curvata	

Fig. 8 - Correlazioni tra gli schemi biostratigrafici del Triassico superiore e Giurassico, relativi alla facies di “paleopiattaforma” (da CHIOCCHINI et alii, 2008).

- Correlation between Upper Triassic bio and Jurassic stratigraphic schemes of the “paleoplatform” (from CHIOCCHINI et alii, 2008).

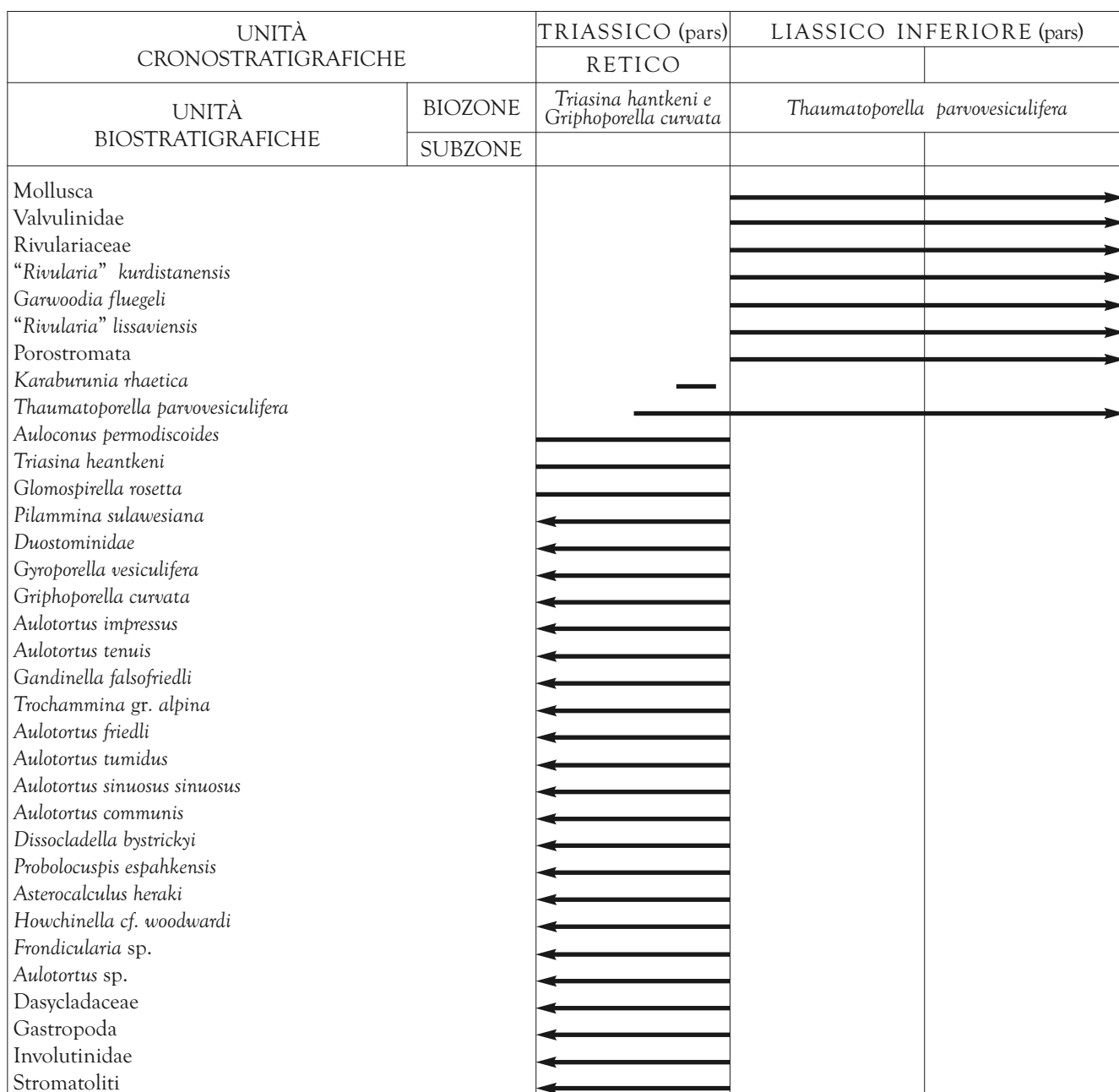


Fig. 9 - Carta di distribuzione dei fossili più significativi del Triassico superiore - Liassico inferiore (pars) relativa la “paleopiattaforma” nel Lazio meridionale.

- Upper Triassic to Lower Liassic distribution chart of the most significant fossils related to the “paleoplatform” in Southern Latium.

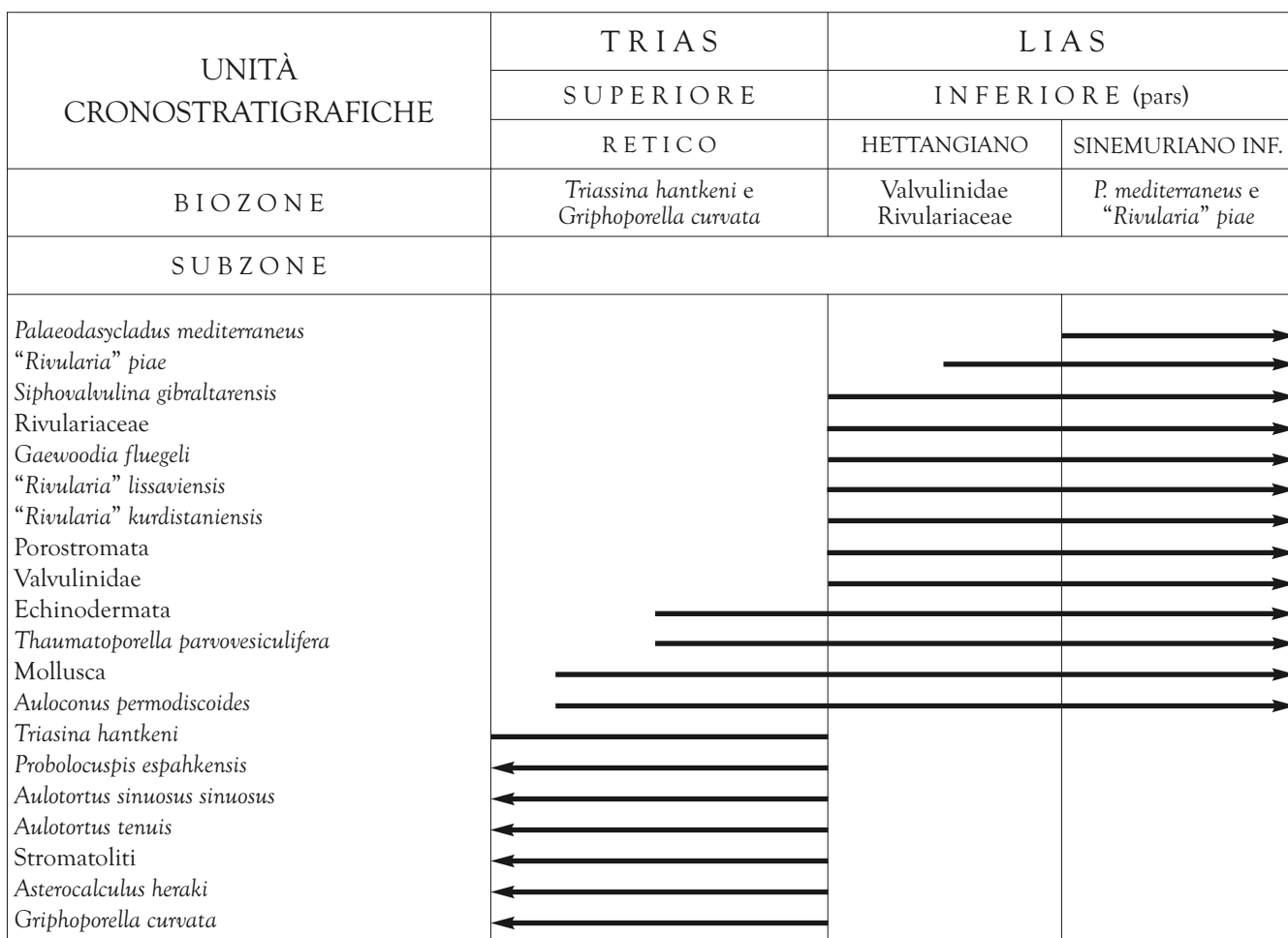


Fig. 10 - Carta di distribuzione dei fossili più significativi del Triassico superiore - Liassico inferiore (pars) relativa alla “paleopiattaforma” in Abruzzo.

- Upper Triassic to Lower Liassic stratigraphic range chart of the most significant fossils of the “paleoplatform” in Abruzzo.

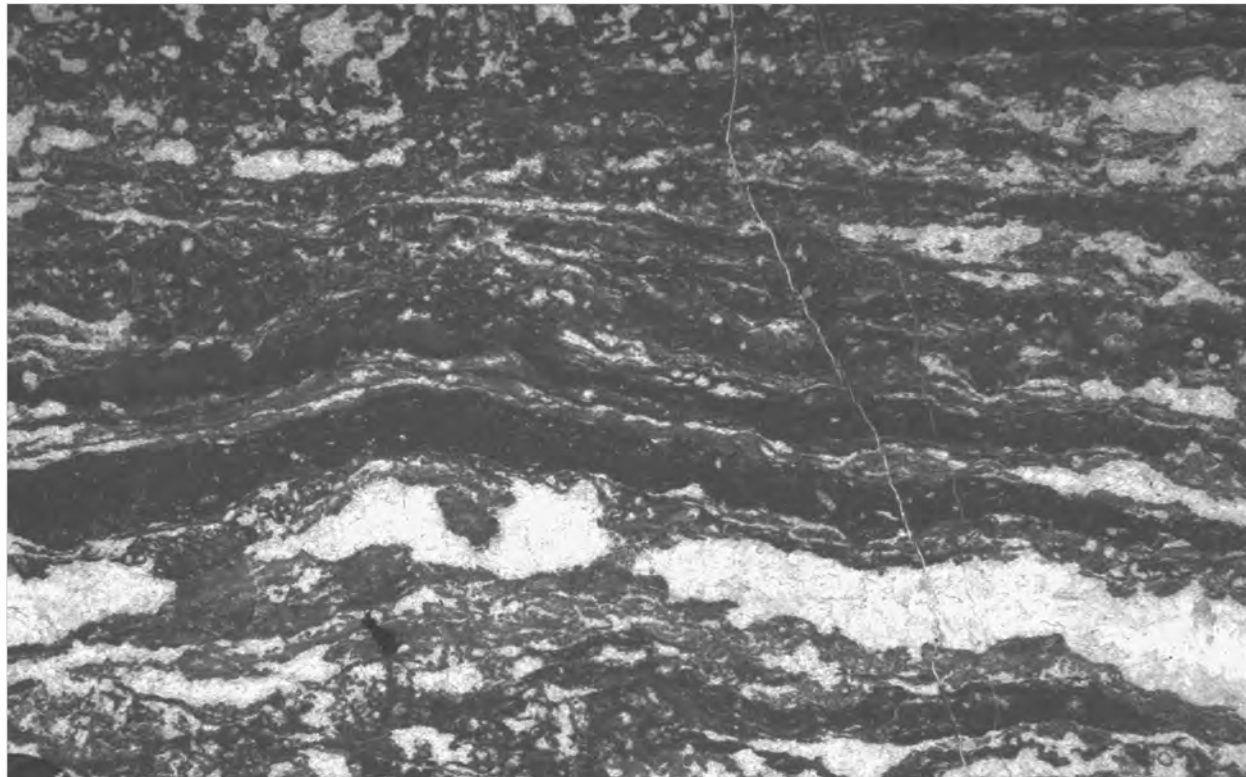


Fig. 1 – Bindstone laminato con Stromatoliti. x 18  
– Laminated bindstone with Stromatolites. x 18

Sezione stratigrafica del Monte Cefalo, Monti Aurunci (Lazio meridionale).  
Biozona a *Triasina hantkeni* e *Griphoporella curvata*.

— *Cefalo Mt. stratigraphic section, Aurunci Mts. (Southern Latium).*  
*Triasina hantkeni and Griphoporella curvata biozone.*

RETICO

RHAETIAN



Fig. 2 – Framestone con Anthozoa e *Griphoporella curvata*. x 18  
– Framestone with Anthozoa and *Griphoporella curvata*. x 18

Sezione stratigrafica del Monte Carbonaro, Monti Aurunci (Lazio meridionale).  
Biozona a *Triasina hantkeni* e *Griphoporella curvata*.

— *Carbonaro Mt. stratigraphic section, Aurunci Mts. (Southern Latium).*  
*Triasina hantkeni and Griphoporella curvata biozone.*

RETICO

RHAETIAN

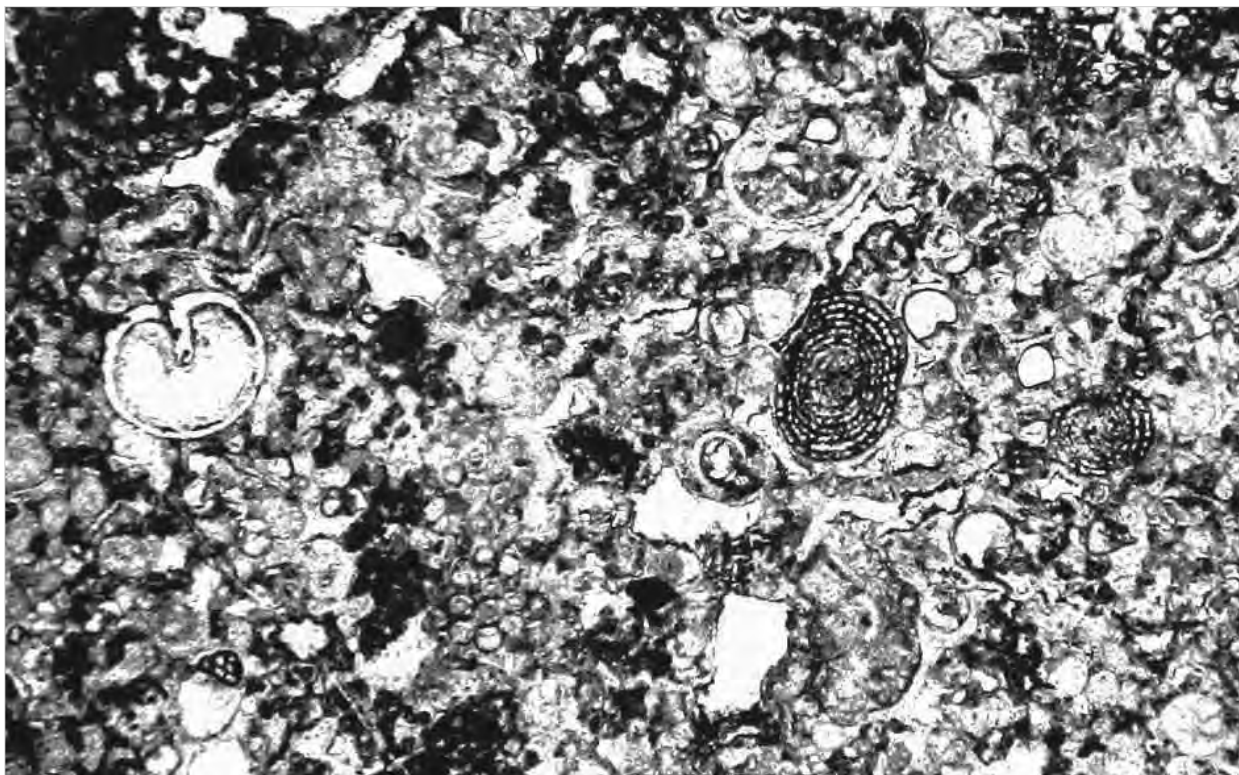
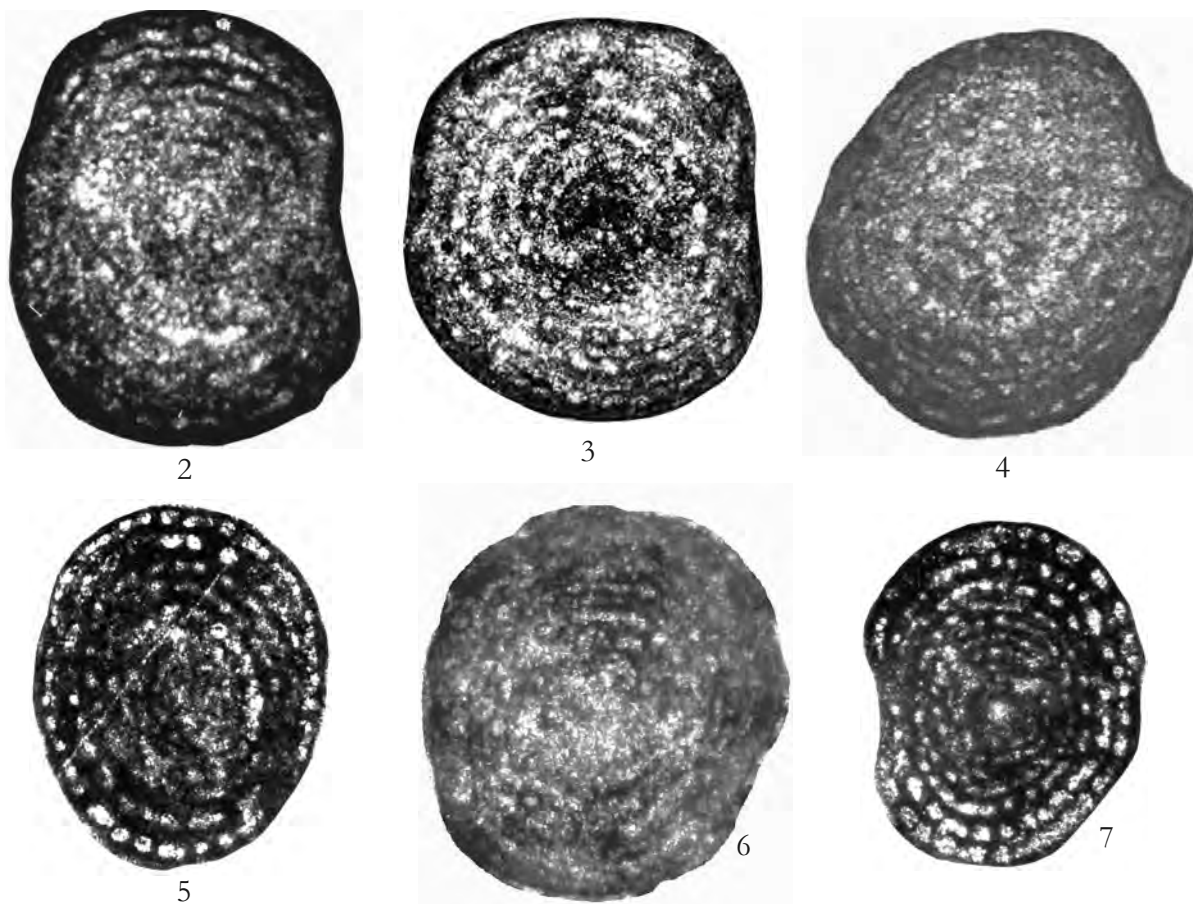


Fig. 1 – Packstone con *Triasina hantkeni*, piccoli foraminiferi bentonici e resti di Gastropoda.  $\times 22$   
 – Packstone with *Triasina hantkeni*, small benthic Foraminifera and Gastropoda remains.  $\times 22$



Figg. 2-7 – Sezioni variamente orientate di individui riferibili a *Triasina hantkeni*.  $\times 50$   
 – Variously oriented sections of specimens referred to *Triasina hantkeni*.  $\times 50$

La microfacies di fig. 1 e gli individui delle figg. 2-7, provengono dalle sezioni stratigrafiche di Monte Carbonaro e Monte Cefalo, Monti Aurunci (Lazio meridionale).

Biozona a *Triasina hantkeni* e *Griphoporella curvata*.

– The microfacies of fig. 1 and the specimens of figs. 2-7, from Carbonaro Mt. and Cefalo Mt. stratigraphic sections, Aurunci Mts. (Southern Lazio).

*Triasina hantkeni* and *Griphoporella curvata* biozone.

RETICO

RHAETIAN

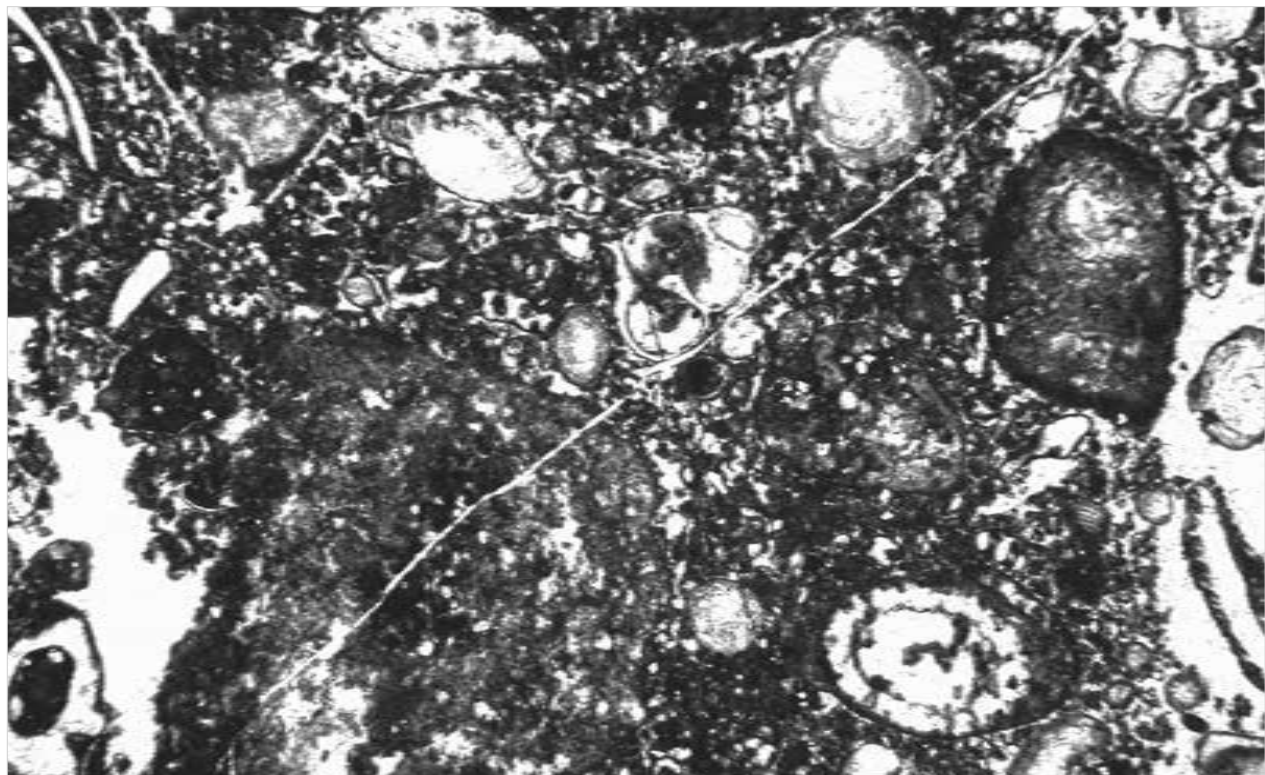
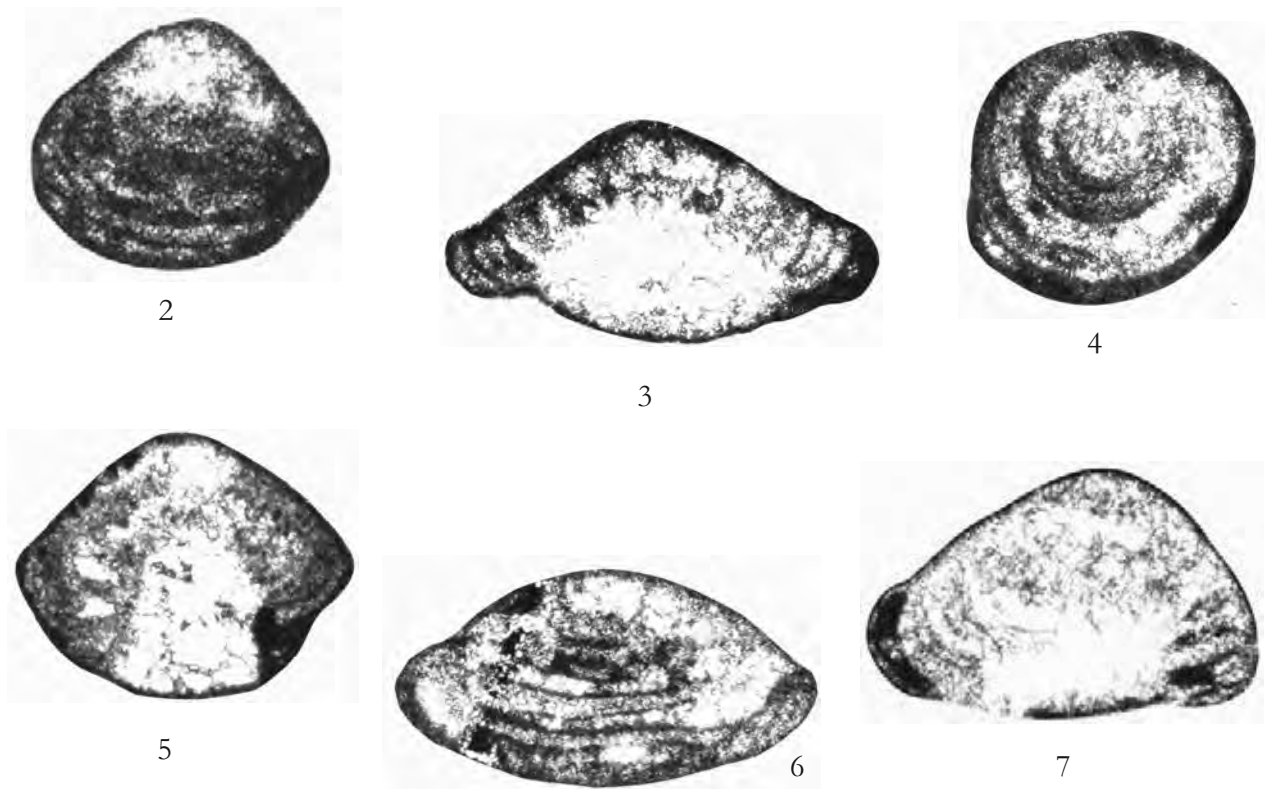


Fig. 1 – Packstone con oncidi, *Auloconus permodiscoides*, *Triasina hantkeni*, *Aulotortus friedli*, *Involutinidae*, *Dissocladella bystrickyi*, resti di Gastropoda.  $\times 20$   
 – Packstone with oncoids *Auloconus permodiscoides*, *Triasina hantkeni*, *Aulotortus friedli*, *Involutinidae*, *Dissocladella bystrickyi*, *Gastropoda* remains.  $\times 20$



Figg. 2-7 – Sezioni variamente orientate di individui riferibili a *Auloconus permodiscoides*.  $\times 40$   
 – *Variously oriented sections of specimens referred to Auloconus permodiscoides.*  $\times 40$

La microfacies di fig. 1 e gli individui delle figg. 2-7, provengono dalle sezioni stratigrafiche di Monte Carbonaro e Monte Cefalo, Monti Aurunci (Lazio meridionale).

Biozona a *Triasina hantkeni* e *Grifhoporella curvata*.

RETICO

– *The microfacies of fig. 1 and the specimens of figs. 2-7, from Carbonaro Mt. and Cefalo Mt. stratigraphic sections, Aurunci Mts. (Southern Lazio).*

*Triasina hantkeni* and *Grifhoporella curvata* biozone.

RHAETIAN

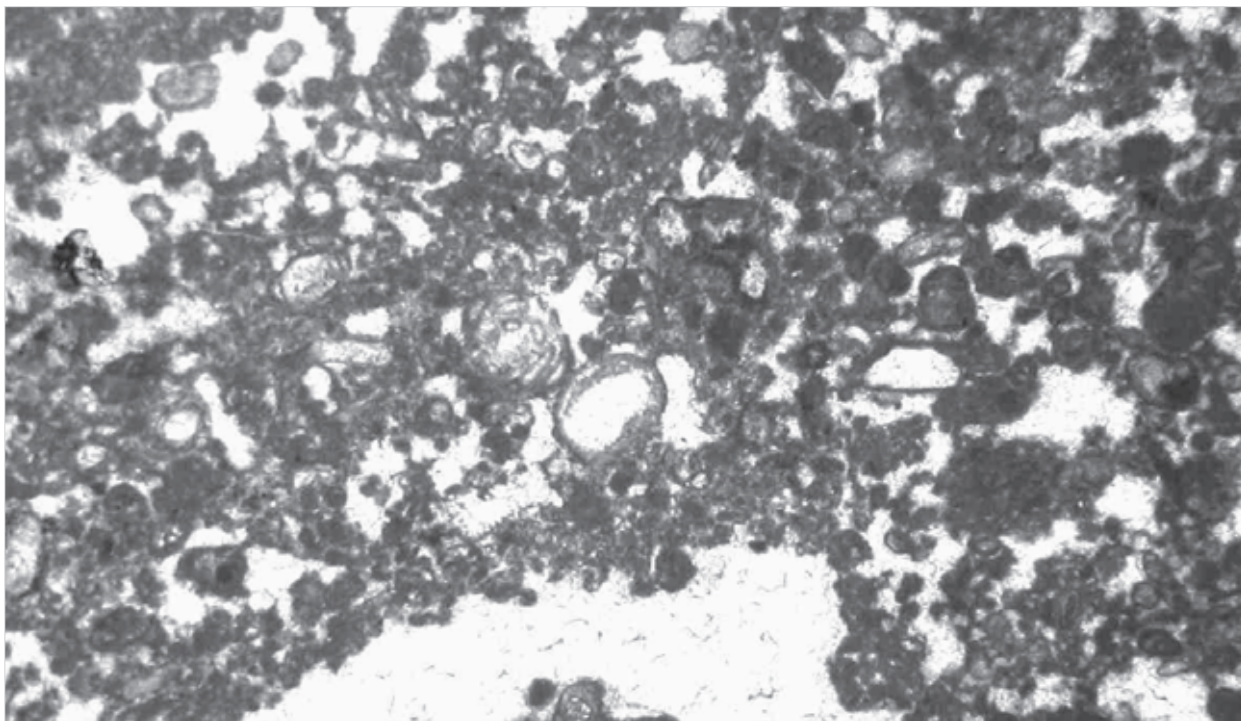
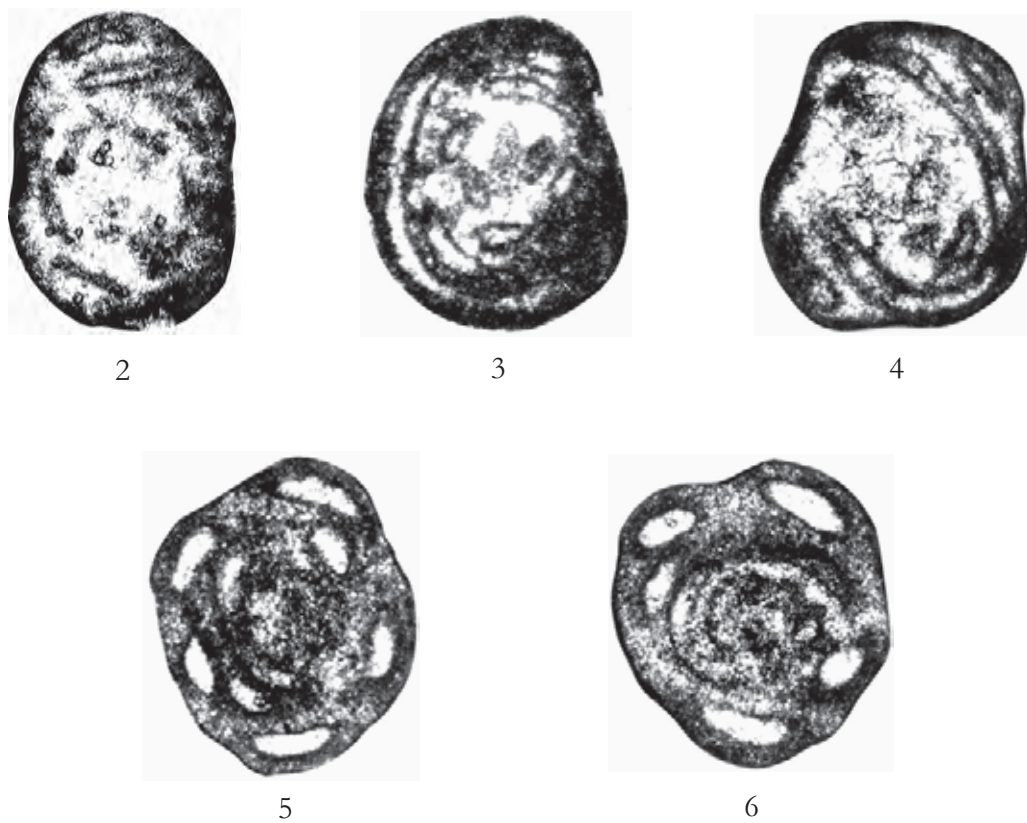


Fig. 1 – Packstone con fenestrae e *Aulotortus friedli* e *Aulotortus* sp. x 22  
 – Fenestral packstone with *Aulotortus friedli* and *Aulotortus* sp. x 22



Figg. 2-6 – Sezioni variamente orientate di individui riferibili a *Aulotortus friedli*. x 50  
 – Variously oriented sections of specimens referred to *Aulotortus friedli*. x 50

La microfacies di fig. 1 e gli individui delle figg. 2-6, provengono dalle sezioni stratigrafiche di Monte Carbonaro e Monte Cefalo, Monti Aurunci (Lazio meridionale).

Biozona a *Triasina hantkeni* e *Griphoporella curvata*.

– The microfacies of fig. 1 and the specimens of figs. 2-6, from Carbonaro Mt. and Cefalo Mt. stratigraphic sections, Aurunci Mts. (Southern Lazio).

*Triasina hantkeni* and *Griphoporella curvata* biozone.

RETICO

RHAETIAN

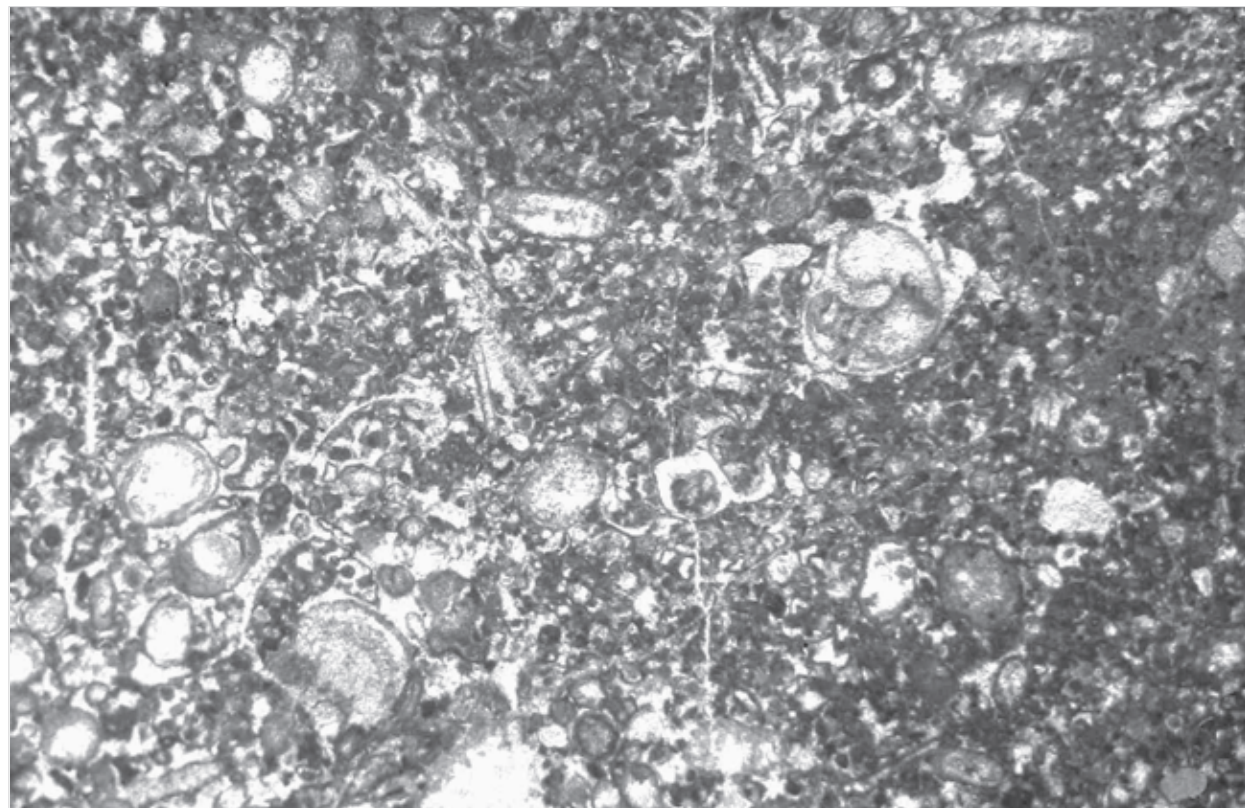
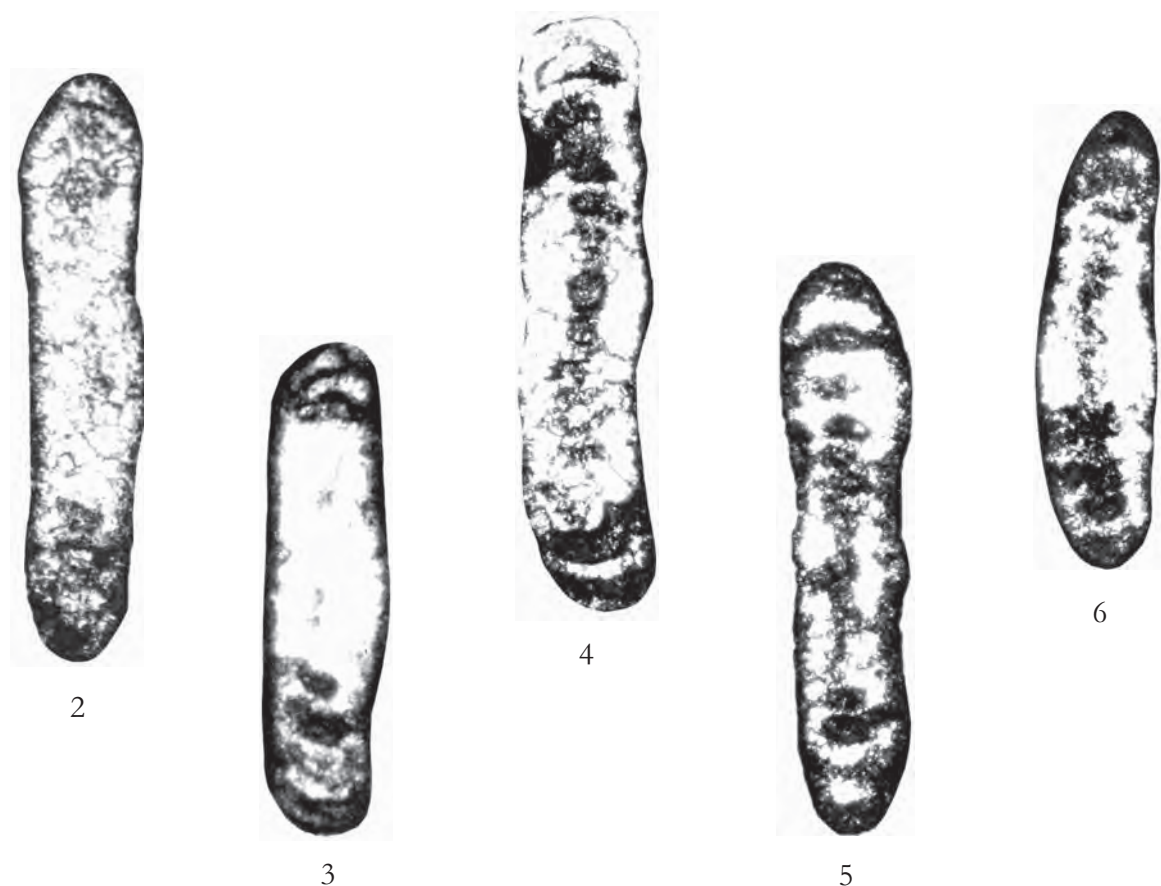


Fig. 1 – Packstone con *Aulotortus tenuis*, *Aulotortus friedli*, Involutinidae, Dasycladaceae, Gastropoda.  $\times 20$   
 – Packstone with *Aulotortus tenuis*, *Aulotortus friedli*, *Involutinidae*, *Dasycladaceae*, *Gastropoda*.  $\times 20$



Figg. 2-6 – Sezioni variamente orientate di individui riferibili a *Aulotortus tenuis*.  $\times 65$   
 – *Variously oriented sections of specimens referred to Aulotortus tenuis*.  $\times 65$

La microfacies di fig. 1 e gli individui delle figg. 2-6, provengono dalla sezione stratigrafica di Monte Cefalo, Monti Aurunci (Lazio meridionale).  
 Biozona a *Triasina hantkeni* e *Grifophorella curvata*.  
 – The microfacies of fig. 1 and the specimens of figs. 2-6, from Cefalo Mt. stratigraphic section, Aurunci Mts. (Southern Latium).  
*Triasina hantkeni* and *Grifophorella curvata* biozone.

RETICO  
 RHAETIAN

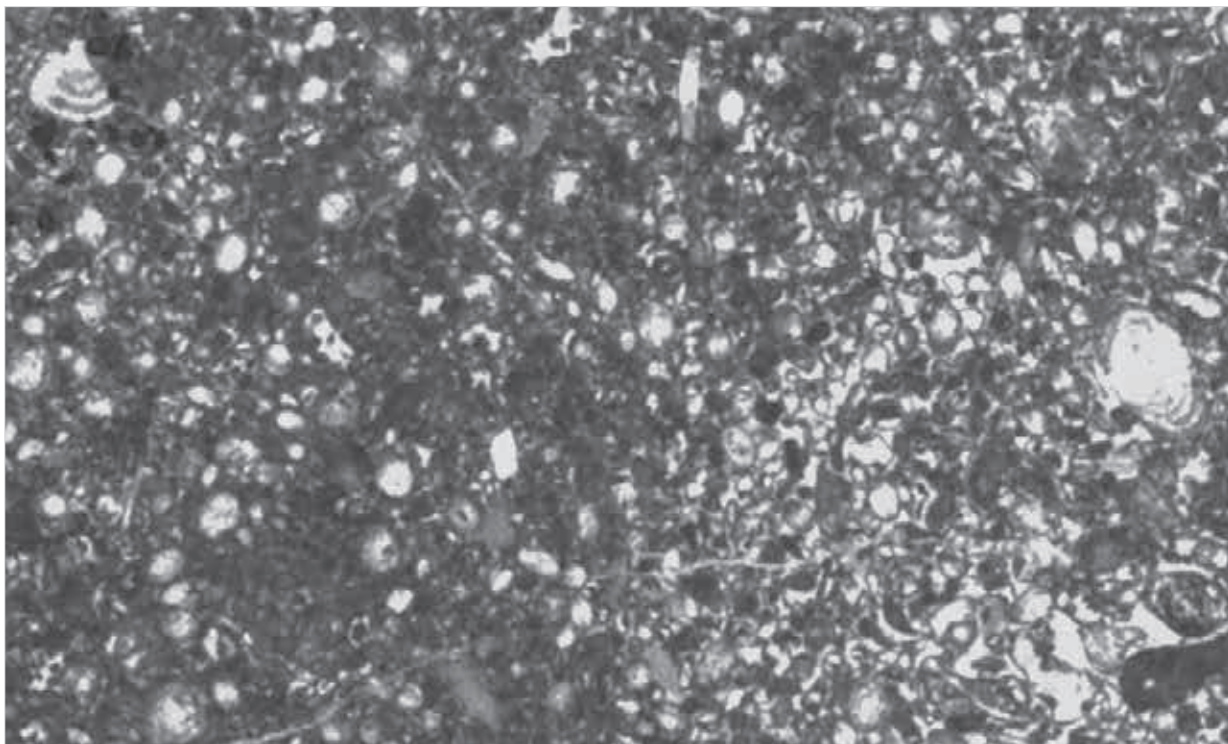
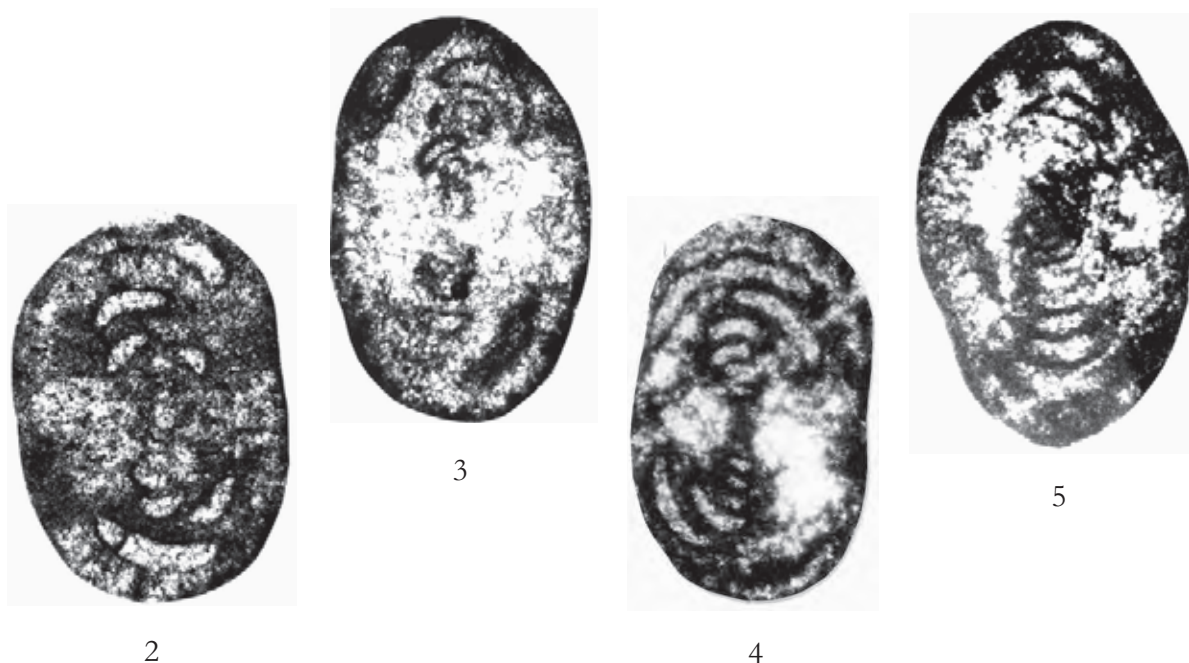


Fig. 1 – Packstone con *Aulotortus sinuosus sinuosus*, *Aulotortus friedli*, *Auloconus permodiscoides*, Involutinidae. x 22  
– Packstone with *Aulotortus sinuosus sinuosus*, *Aulotortus friedli*, *Auloconus permodiscoides*, *Involutinidae*. x 22



Figg. 2-5 – Sezioni variamente orientate di individui riferibili a *Aulotortus sinuosus sinuosus*. x 36  
– Variously oriented sections of specimens referred to *Aulotortus sinuosus sinuosus*. x 36

La microfacies di fig. 1 e gli individui delle figg. 2-5, provengono dalle sezioni stratigrafiche del Monte Meta, Gran Sasso d'Italia (Abruzzo), di Monte Carbonaro e Monte Cefalo, Monti Aurunci (Lazio meridionale).  
Biozona a *Triasina hantkeni* e *Griphoporella curvata*. RETICO  
– The microfacies of fig. 1 and the specimens of figs. 2-5, from Meta Mt., Gran Sasso d'Italia (Abruzzo), Carbonaro Mt. and Cefalo Mt., Aurunci Mts. (Southern Latium) stratigraphic sections.  
*Triasina hantkeni* and *Griphoporella curvata* biozone. RHAETIAN

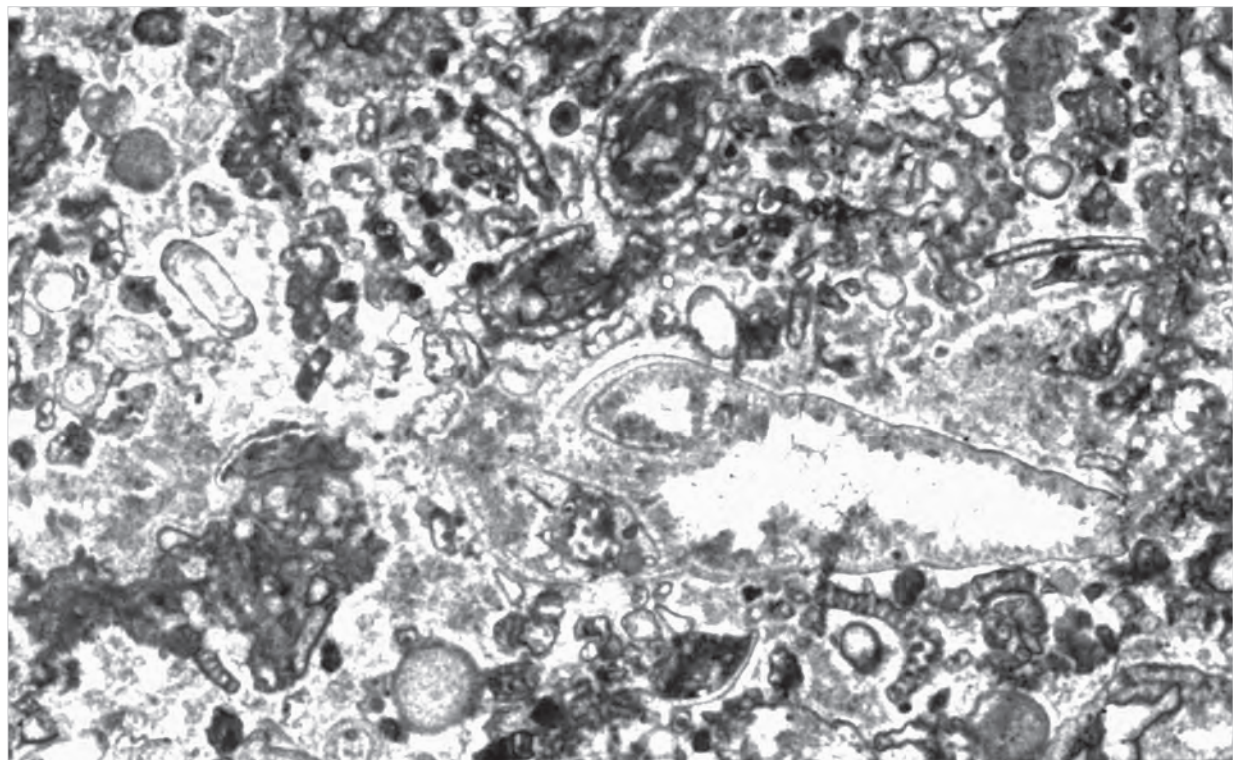
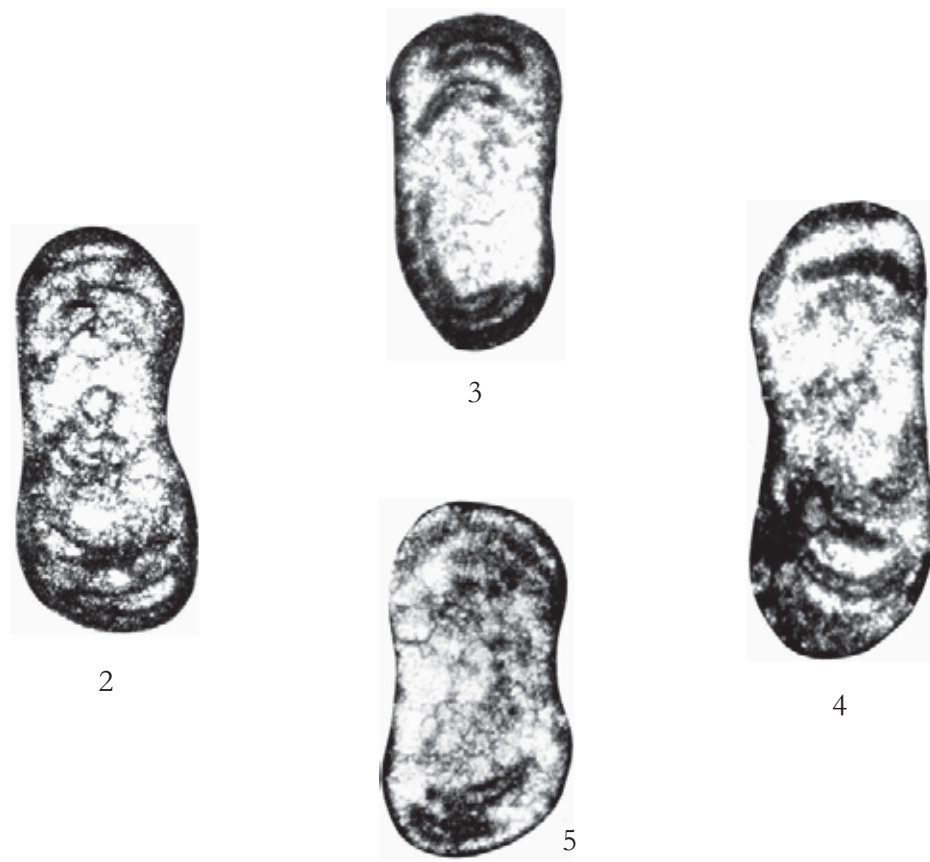


Fig. 1 – Rudstone con *Aulotortus impressus*, *Dissocladella bystrickyi*, *Griphoporella curvata*, Gastropoda. x 18  
– Rudstone with *Aulotortus impressus*, *Dissocladella bystrickyi*, *Griphoporella curvata*, Gastropoda. x 18



Figg. 2-5 – Sezioni variamente orientate di individui riferibili a *Aulotortus impressus*. x 55  
– *Variously oriented sections of specimens referred to Aulotortus impressus*. x 55

La microfacies di fig. 1 e gli individui delle figg. 2-5, provengono dalla sezione stratigrafica di Monte Cefalo, Monti Aurunci (Lazio meridionale).  
Biozona a *Triasina hantkeni* e *Griphoporella curvata*.  
– *The microfacies of fig. 1 and the specimens of figs. 2-5, from Cefalo Mt., Aurunci Mts. (Southern Latium) stratigraphic section.*  
*Triasina hantkeni and Griphoporella curvata biozone.*

RETICO

RHAETIAN

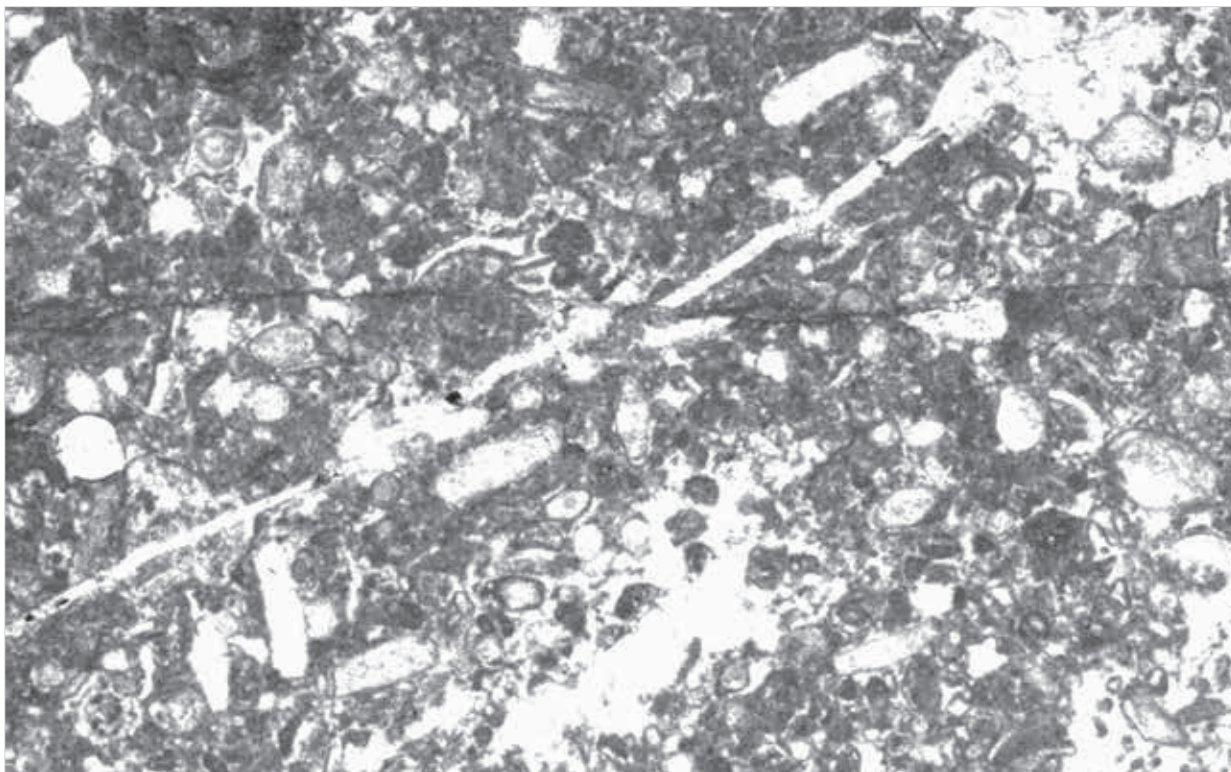
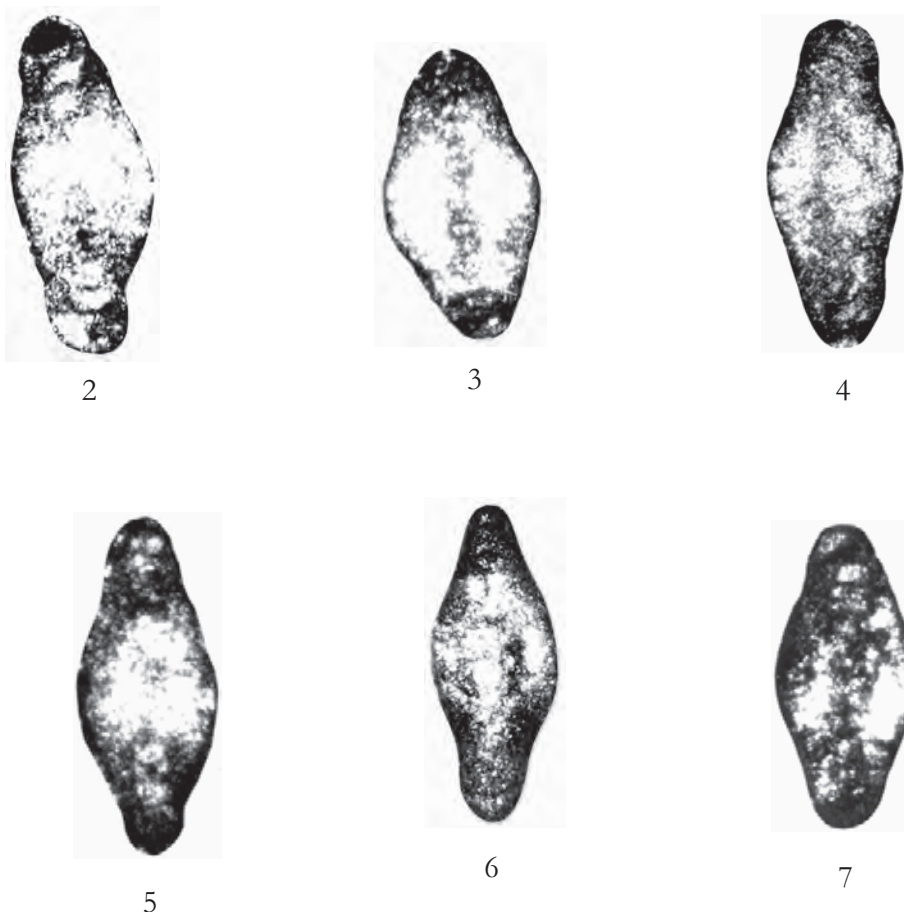


Fig. 1 – Packstone con *Aulotortus tumidus*, *Aulotortus tenuis*, Involutinidae, resti di Mollusca. x 20  
 – Packstone with *Aulotortus tumidus*, *Aulotortus tenuis*, *Involutinidae*, Mollusca remains. x 20



Figg. 2-7 – Sezioni variamente orientate di individui riferibili a *Aulotortus tumidus*. x 60  
 – Variously oriented sections of specimens referred to *Aulotortus tumidus*. x 60

La microfacies di fig. 1 e gli individui delle figg. 2-7, provengono dalla sezione stratigrafica di Monte Cefalo, Monti Aurunci (Lazio meridionale).  
 Biozona a *Triasina hantkeni* e *Griphoporella curvata*.  
 – The microfacies of fig. 1 and the specimens of figs. 2-7, from Cefalo Mt., Aurunci Mts. (Southern Latium) stratigraphic section.  
*Triasina hantkeni* and *Griphoporella curvata* biozone.

RETICO  
 RHAETIAN

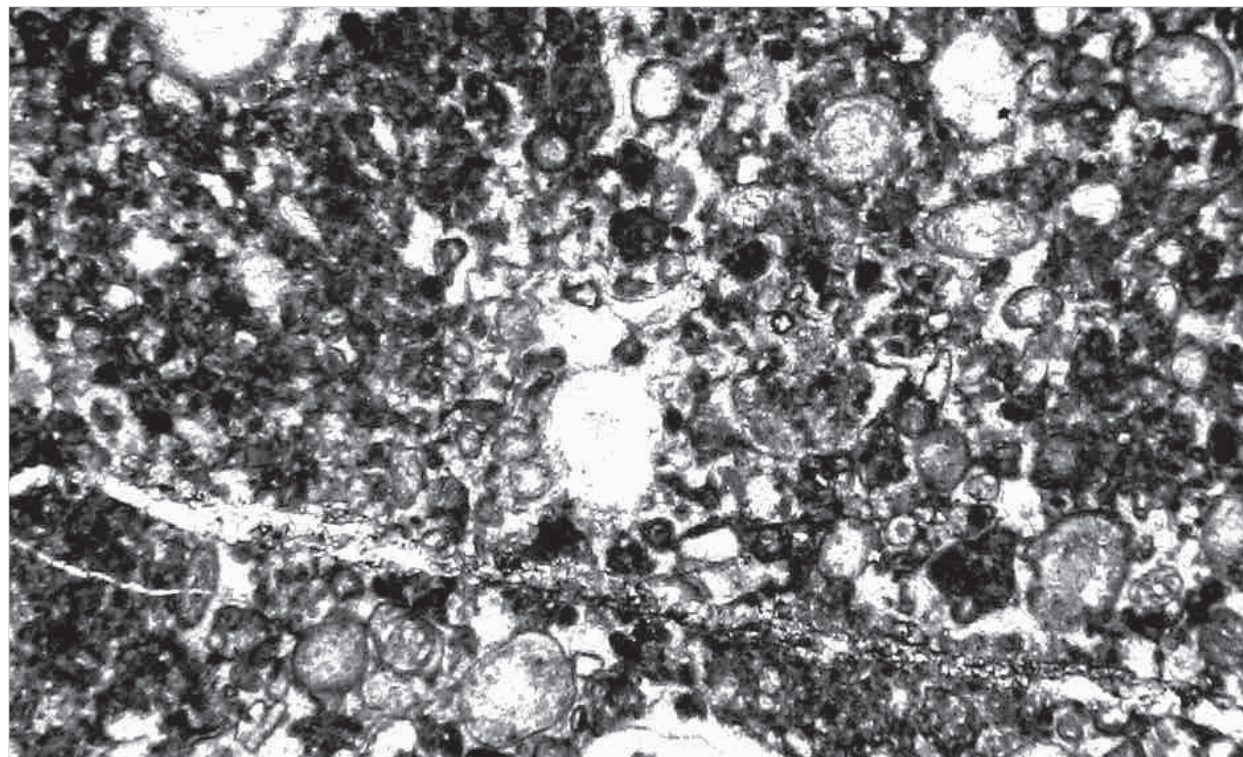
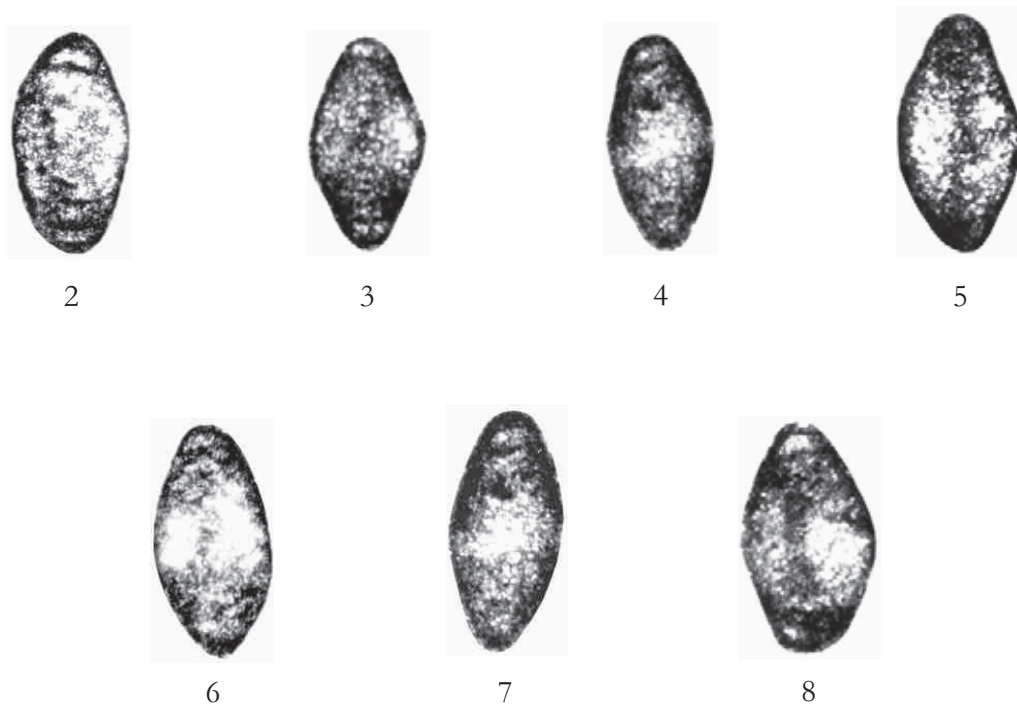


Fig. 1 – Packstone con *Aulotortus communis*, *Aulotortus tenuis*, *Gandinella falsoftriedli*, *Involutinidae*, *Howchinella cf. woodwardi*.  $\times 30$   
 – Packstone with *Aulotortus communis*, *Aulotortus tenuis*, *Gandinella falsoftriedli*, *Involutinidae*, *Howchinella cf. woodwardi*.  $\times 30$



Figg. 2-8 – Sezioni variamente orientate di individui riferibili a *Aulotortus communis*.  $\times 70$   
 – Variously oriented sections of specimens referred to *Aulotortus communis*.  $\times 70$

La microfacies di fig. 1 e gli individui delle figg. 2-8, provengono dalle sezioni stratigrafiche di Monte Cefalo e Monte Carbonaro, Monti Aurunci (Lazio meridionale).

Biozona a *Triasina hantkeni* e *Griphoporella curvata*.

RETICO

– The microfacies of fig. 1 and the specimens of figs. 2-8, from Cefalo Mt. and Carbonaro Mt., Aurunci Mts. (Southern Lattium) stratigraphic sections.

*Triasina hantkeni* and *Griphoporella curvata* biozone.

RHAETIAN

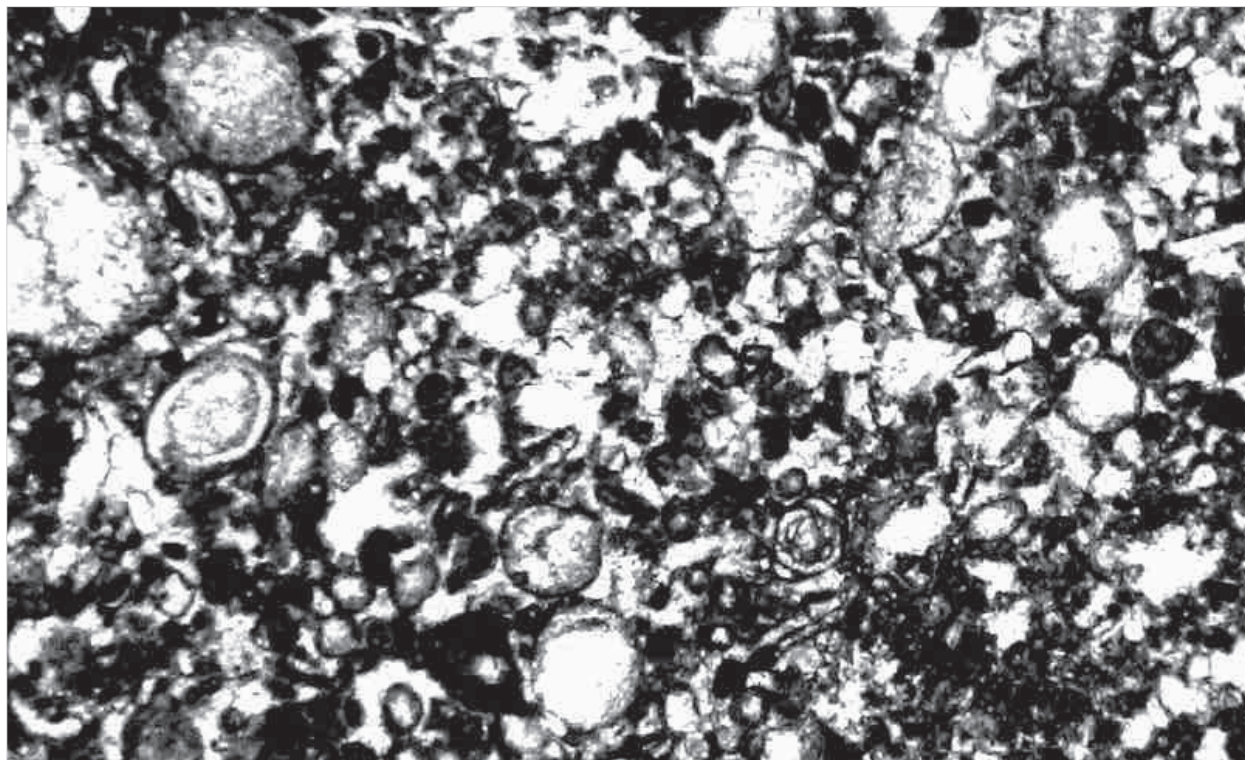


Fig. 1 – Packstone con *Gandinella falsofriedli*, Involutinidae, resti di Mollusca. x 20  
 – Packstone with *Gandinella falsofriedli*, *Involutinidae*, *Mollusca* remains. x 20

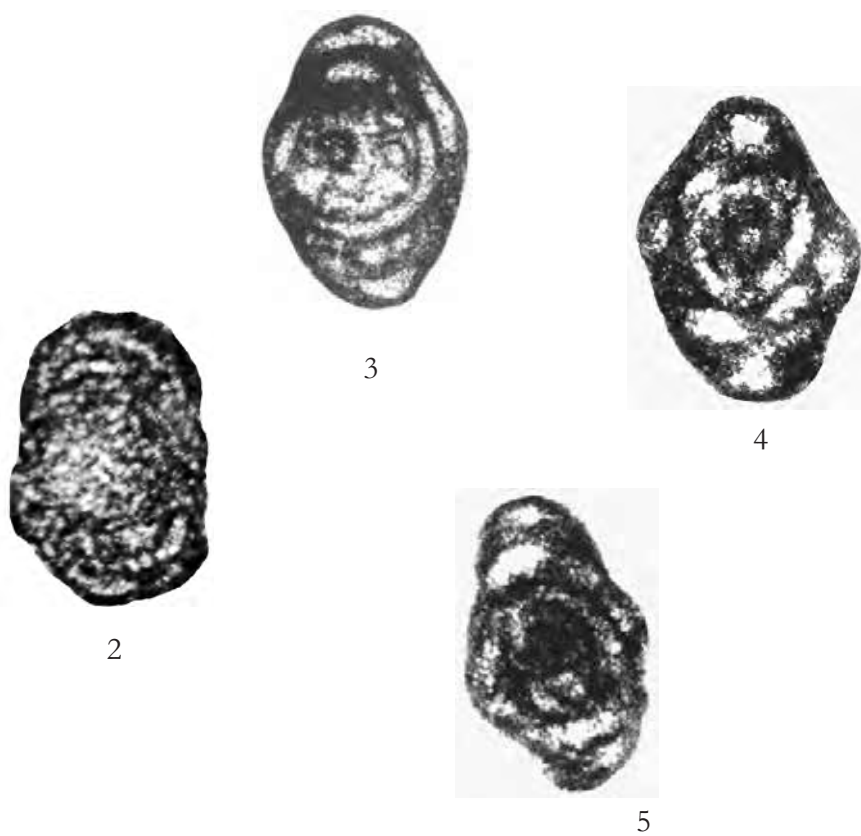


Fig. 2-5 – Sezioni variamente orientate di individui riferibili a *Gandinella falsofriedli*. x 55  
 – Variously oriented sections of specimens referred to *Gandinella falsofriedli*. x 55

La microfacies di fig. 1 e gli individui delle figg. 2-5, provengono dalle sezioni stratigrafiche di Monte Cefalo e Monte Carbonaro, Monti Aurunci (Lazio meridionale).  
 Biozona a *Triasina hantkeni* e *Griphoporella curvata*.  
 – The microfacies of fig. 1 and the specimens of figs. 2-5, from Cefalo Mt. and Carbonaro Mt., Aurunci Mts. (Southern Latium) stratigraphic sections.  
*Triasina hantkeni* and *Griphoporella curvata* biozone.

RETICO  
 RHAETIAN

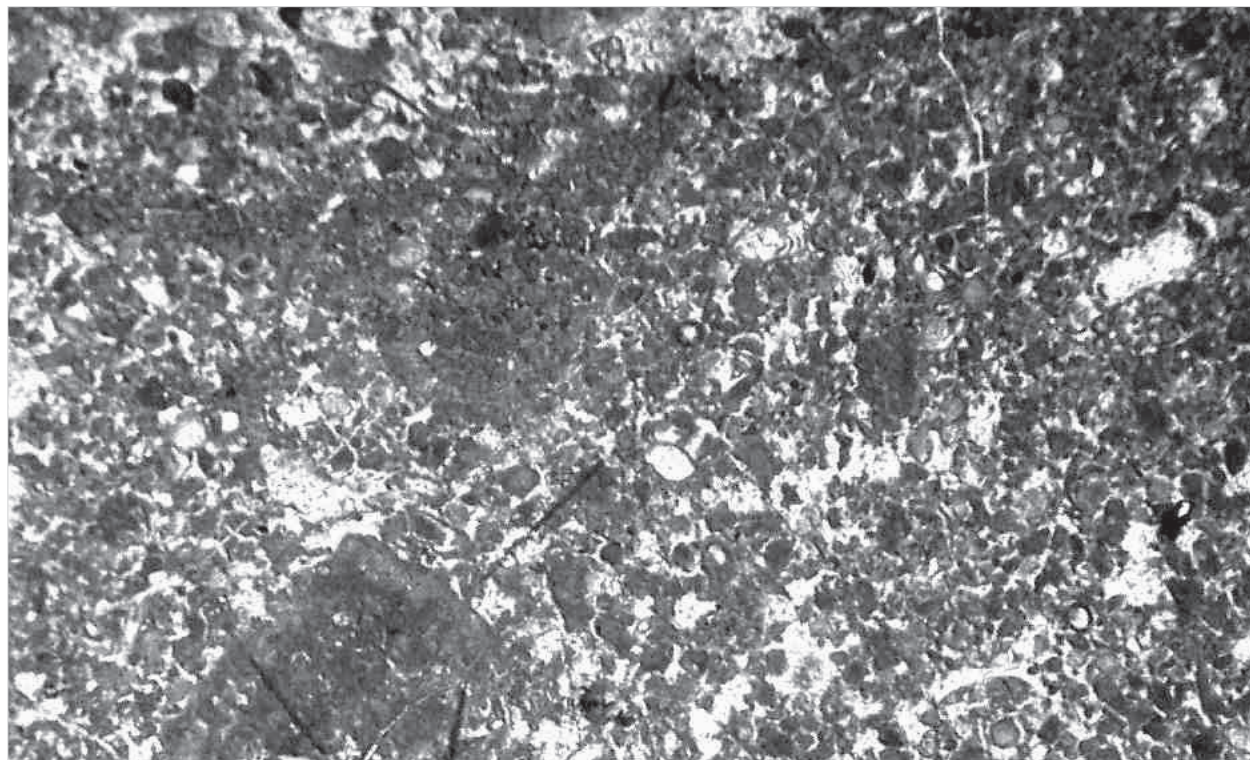


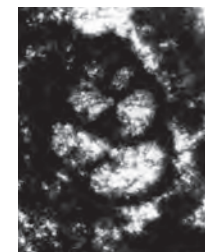
Fig. 1 – Packstone con *Trochammina* gr. *alpina*, Involutinidae, resti di Mollusca. x 20  
 – Packstone with *Trochammina* gr. *alpina*, *Involutinidae*, *Mollusca* remains. x 20



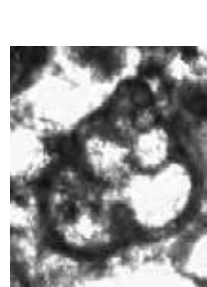
2



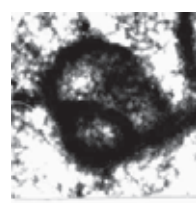
3



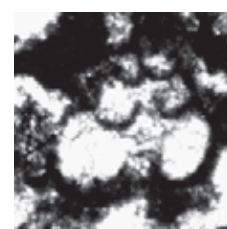
4



5



6



7

Figg. 2-7 – Sezioni variamente orientate di individui riferibili a *Trochammina* gr. *alpina*. x 75  
 – Various oriented sections of specimens referred to *Trochammina* gr. *alpina*. x 75

La microfacies di fig. 1 e gli individui delle figg. 2-7, provengono dalle sezioni stratigrafiche di Monte Carbonaro e Monte Cefalo, Monti Aurunci (Lazio meridionale).

Biozona a *Triasina hantkeni* e *Griphoporella curvata*.

– The microfacies of fig. 1 and the specimens of figs. 2-7, from Carbonaro Mt. and Cefalo Mt., Aurunci Mts. (Southern Lazio) stratigraphic sections.

*Triasina hantkeni* and *Griphoporella curvata* biozone.

RETICO

RHAETIAN

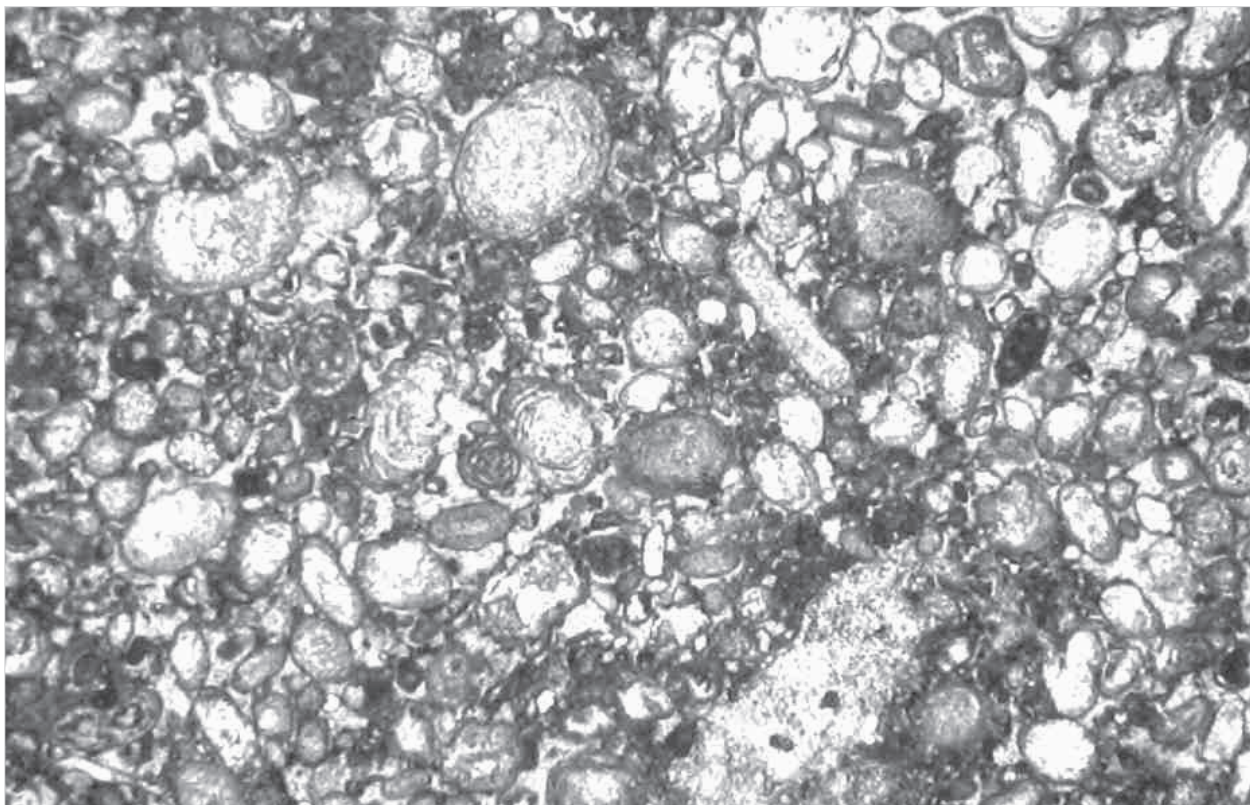


Fig. 1 – Packstone con *Glomospirella rosetta*, *Triasina hantkeni*, *Aulotortus friedli*, *Aulotortus tenuis* e altri Foraminiferi bentonici, rare Dasycladaceae.  $\times 25$   
 – Packstone with *Glomospirella rosetta*, *Triasina hantkeni*, *Aulotortus friedli*, *Aulotortus tenuis* and other benthic Foraminifera, rare Dasycladaceae.  $\times 25$

Sezione stratigrafica del Monte Cefalo, Monti Aurunci (Lazio meridionale).

Biozona a *Triasina hantkeni* e *Griphoporella curvata*.

RETICO

– *Cefalo Mt. stratigraphic section, Aurunci Mts. (Southern Latium)*.

*Triasina hantkeni* and *Griphoporella curvata* biozone.

RHAETIAN

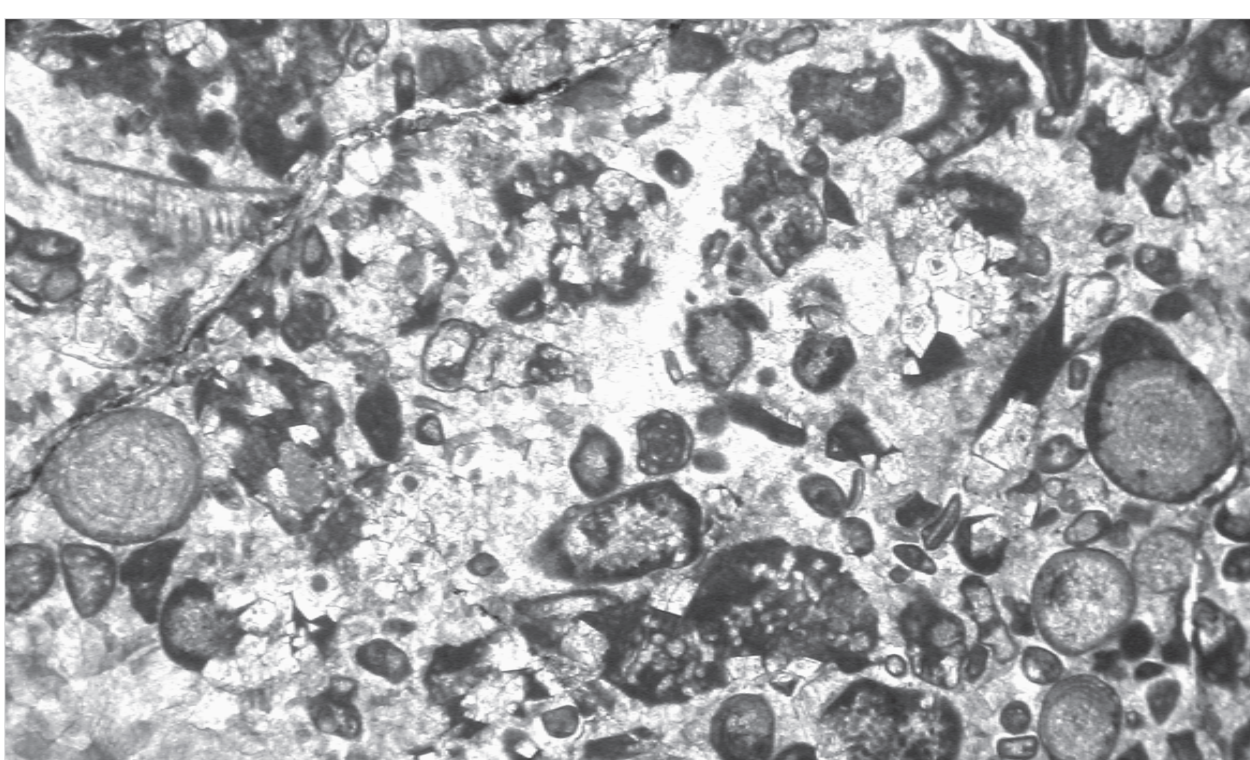


Fig. 2 – Grainstone parzialmente dolomitizzato con *Pilammina sulawesiana*, *Triasina hantkeni*, rare Dasycladaceae, resti di Gastropoda.  $\times 22$   
 – Partially dolomitized grainstone with *Pilammina sulawesiana*, *Triasina hantkeni*, rare Dasycladaceae, Gastropoda remains.  $\times 22$

Sezione stratigrafica del Monte Cefalo, Monti Aurunci (Lazio meridionale).

Biozona a *Triasina hantkeni* e *Griphoporella curvata*.

RETICO

– *Cefalo Mt. stratigraphic section, Aurunci Mts. (Southern Latium)*.

*Triasina hantkeni* and *Griphoporella curvata* biozone.

RHAETIAN

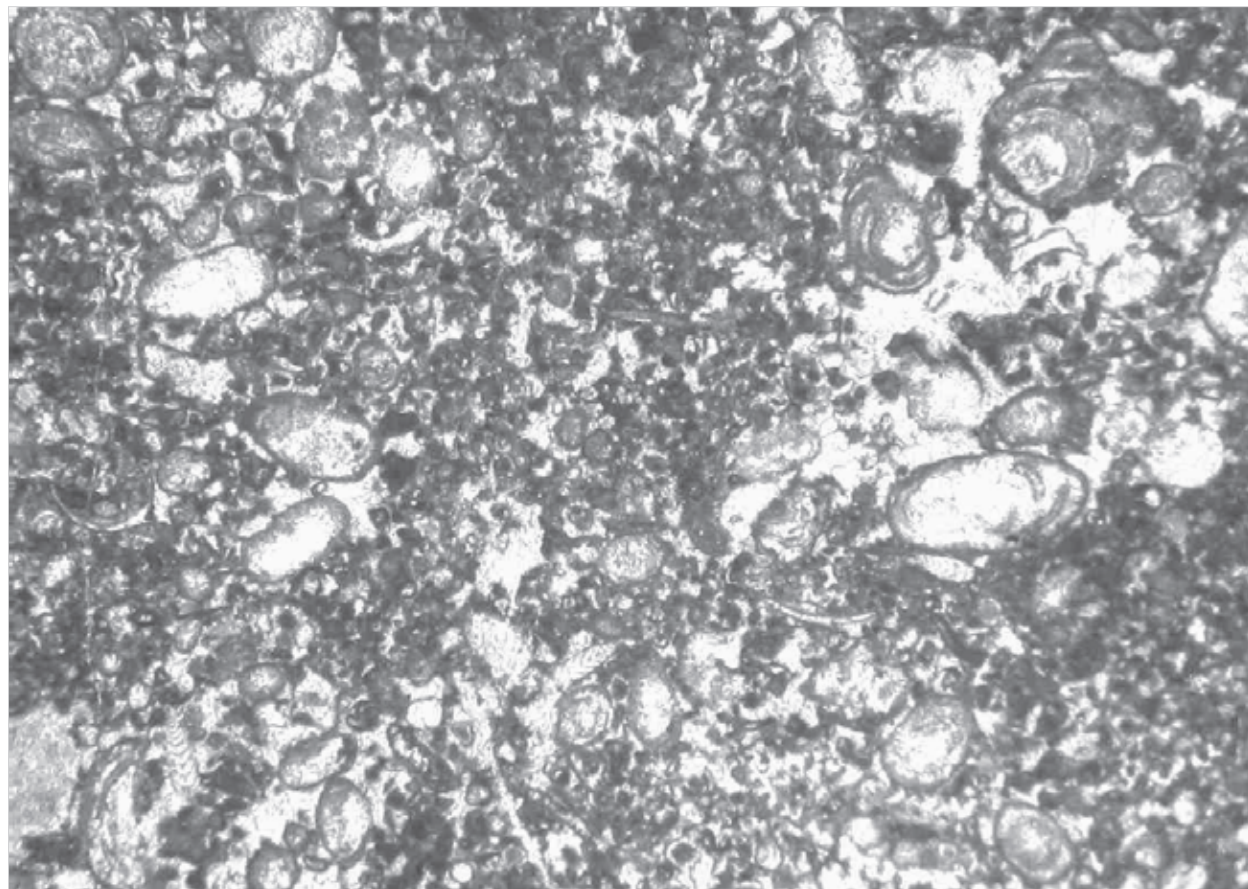
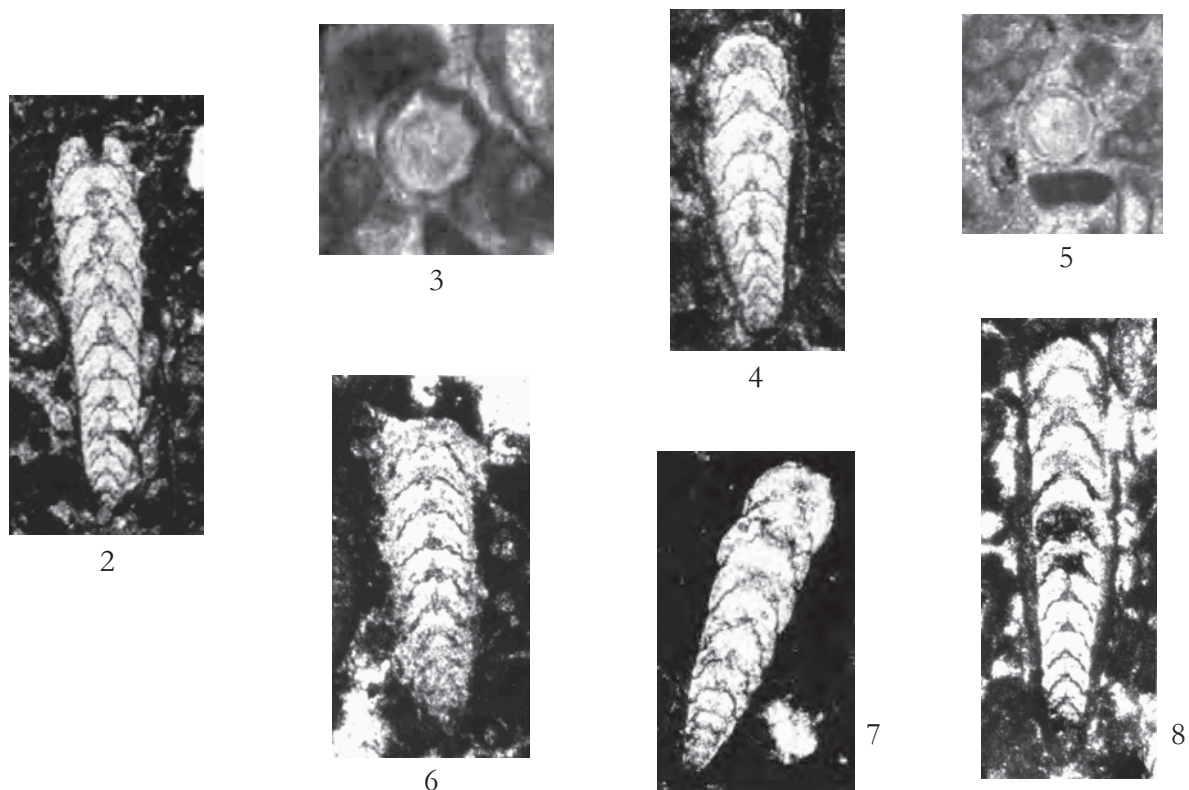


Fig. 1 – Packstone con *Frondicularia* sp., *Aulotortus friedli*, *Aulotortus* sp., Involutinidae, resti di Mollusca. x 18  
 – Packstone with *Frondicularia* sp., *Aulotortus friedli*, *Aulotortus* sp., *Involutinidae*, Mollusca remains. x 18



Figg. 2-8 – Sezioni variamente orientate di individui riferibili a *Frondicularia* sp. x 50  
 – Variously oriented sections of specimens referred to *Frondicularia* sp. x 50

La microfacies di fig. 1 e gli individui delle figg. 2-8, provengono dalla sezione stratigrafica di Monte Cefalo, Monti Aurunci (Lazio meridionale).  
 Biozona a *Triasina hantkeni* e *Griphoporella curvata*.  
 – The microfacies of fig. 1 and the specimens of figs. 2-8, from Cefalo Mt., Aurunci Mts. (Southern Latium) stratigraphic section *Triasina hantkeni* and *Griphoporella curvata* biozone.

RETICO  
 RHAETIAN

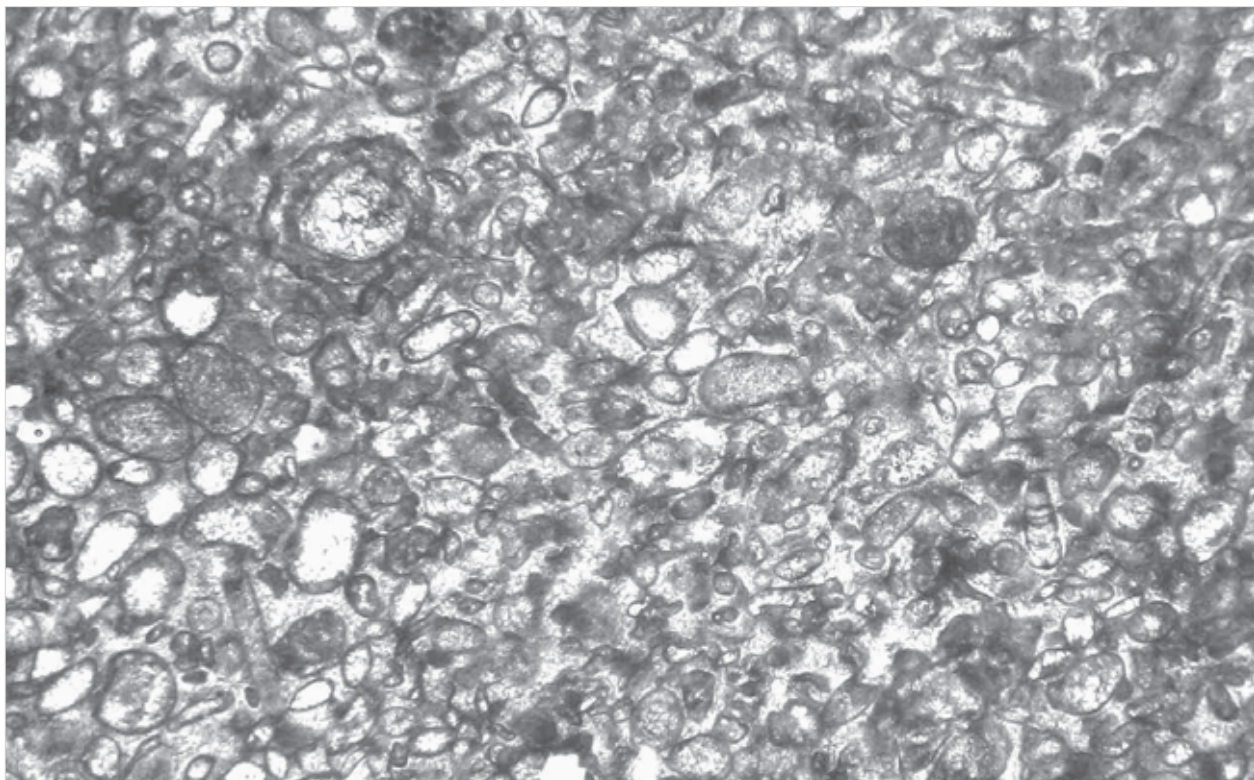
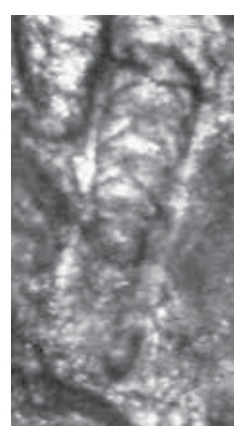


Fig. 1 – Packstone con *Howchinella* cf. *woodwardi*, *Triasina hantkeni*, *Involutinidae*, *Dissocladella bystrickyi*, resti di Mollusca. x 30  
 – Packstone with *Howchinella* cf. *woodwardi*, *Triasina hantkeni*, *Involutinidae*, *Dissocladella bystrickyi*, *Mollusca* remains. x 30



2



3



4



5

Figg. 2-5 – Sezioni variamente orientate di individui riferibili a *Howchinella* cf. *woodwardi*. x 60  
 – Variously oriented sections of specimens referred to *Howchinella* cf. *woodwardi*. x 60

La microfacies di fig. 1 e gli individui delle figg. 2-5, provengono dalla sezione stratigrafica del Monte Carbonaro, Monti Aurunci (Lazio meridionale).

Biozona a *Triasina hantkeni* e *Griphoporella curvata*.

– The microfacies of fig. 1 and the specimens of figs. 2-5, from Carbonaro Mt. stratigraphic section, Aurunci Mts. (Southern Lazio).

*Triasina hantkeni* and *Griphoporella curvata* biozone.

RETICO

RHAETIAN

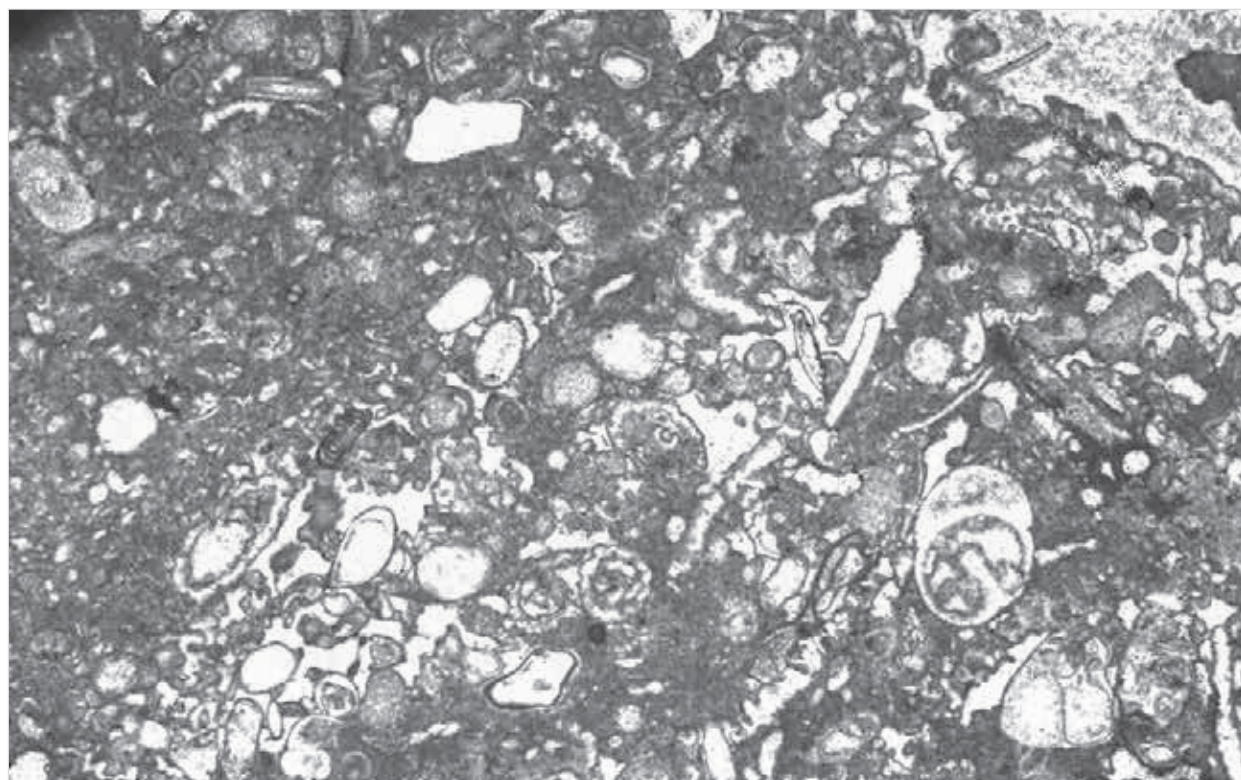
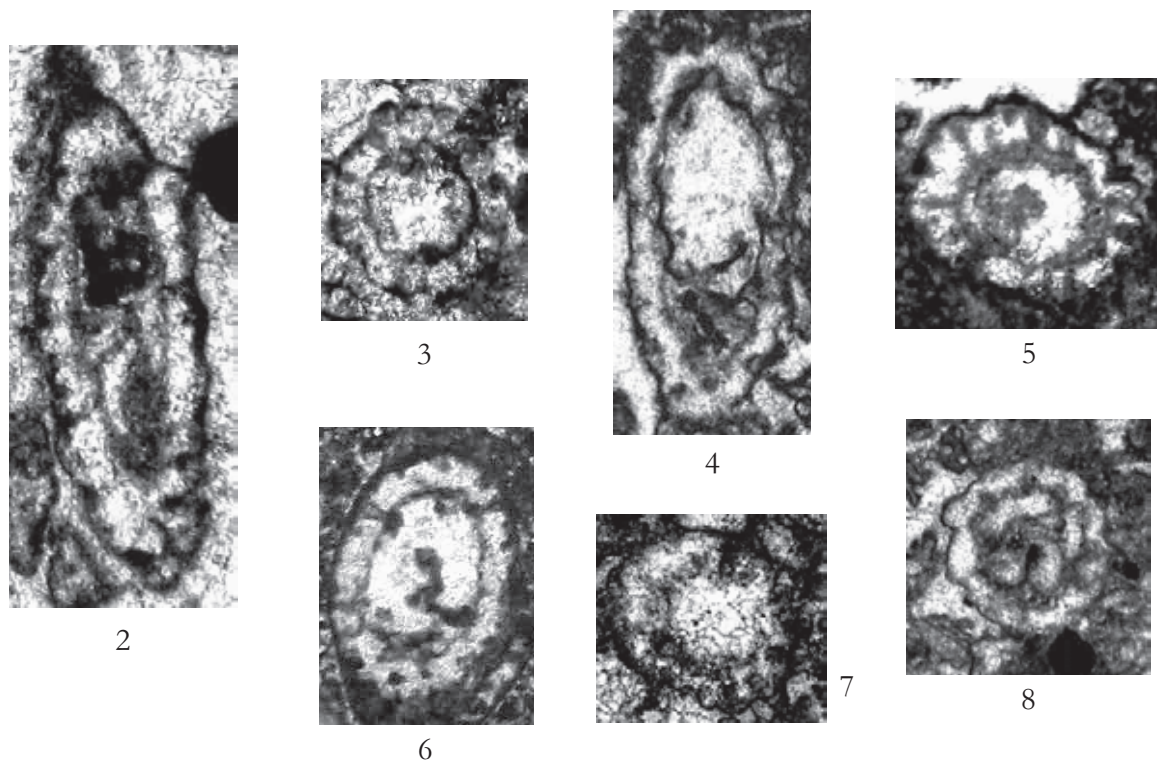


Fig. 1 – Packstone con *Dissocladella bystrickyi*, Involutinidae e altri Foraminiferi bentonici, resti di Gastropoda.  $\times 12$   
 – Packstone with *Dissocladella bystrickyi*, *Involutinidae* and other benthic Foraminifera, Gastropoda remains.  $\times 12$



Figg. 2-8 – Sezioni variamente orientate di individui riferibili a *Dissocladella bystrickyi*.  $\times 25$   
 – Variously oriented sections of specimens referred to *Dissocladella bystrickyi*.  $\times 25$

La microfacies di fig. 1 e gli individui delle figg. 2-8, provengono della sezione stratigrafica di Monte Carbonaro, Monti Aurunci (Lazio meridionale).

Biozona a *Triasina hantkeni* e *Griphoporella curvata*.

– The microfacies of fig. 1 and the specimens of figs. 2-8, from Carbonaro Mt. stratigraphic section, Aurunci Mts. (Southern Lazio).

*Triasina hantkeni* and *Griphoporella curvata* biozone.

RETICO

RHAETIAN

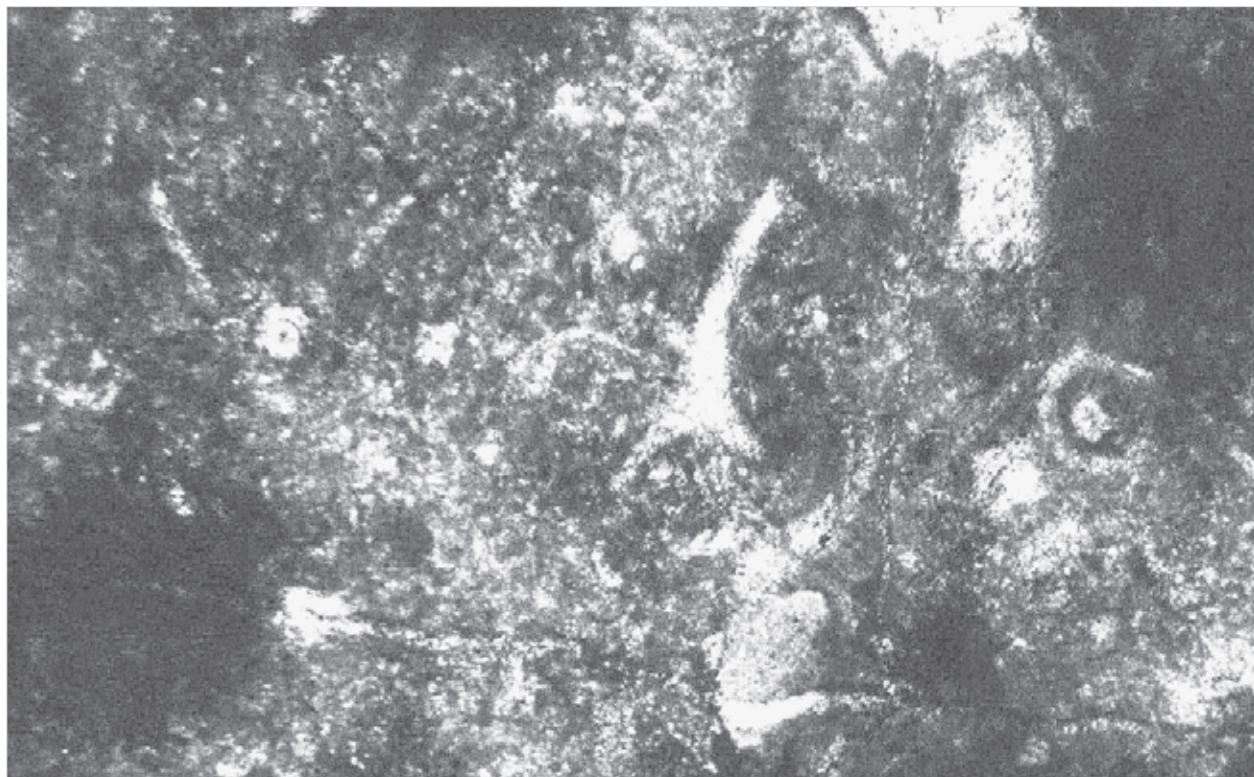
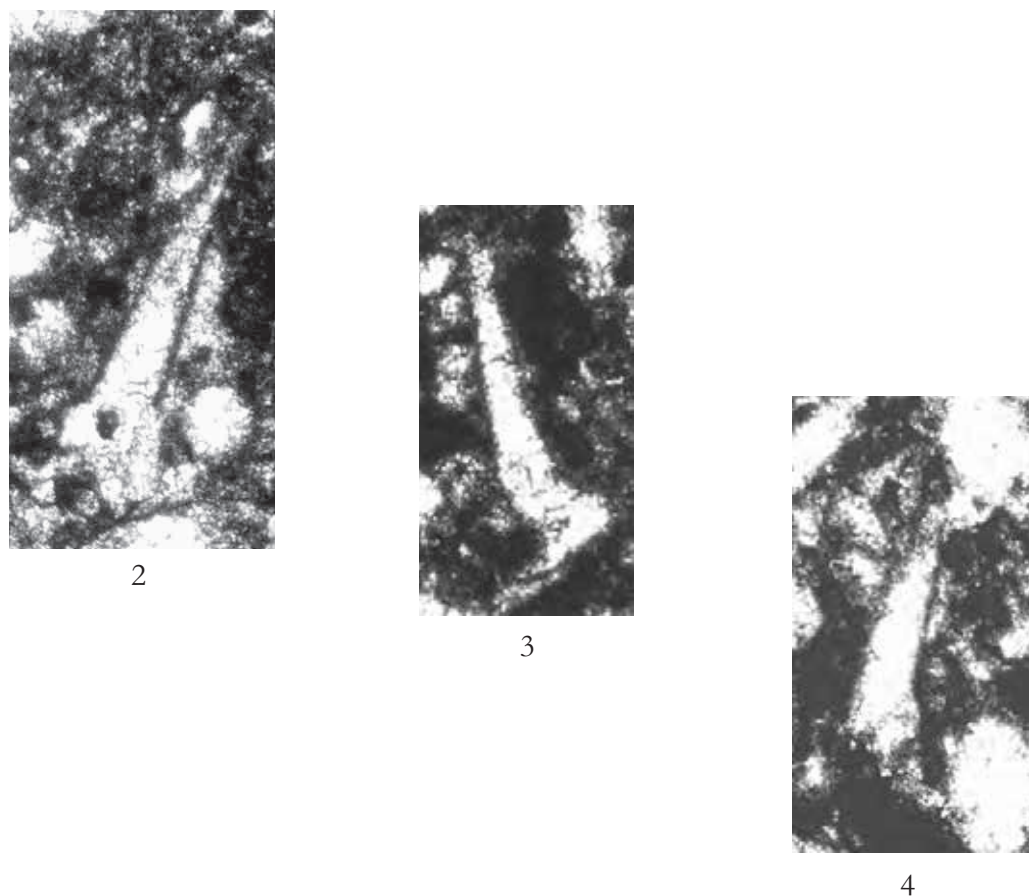


Fig. 1 – Wackestone con *Probolocuspis espahkensis*, *Dissoclarella bystrickyi*, Involutinidae, resti di Mollusca. x 65  
 – Wackestone with *Probolocuspis espahkensis*, *Dissoclarella bystrickyi*, *Involutinidae*, *Mollusca* remains. x 65



Figg. 2-4 – Sezioni variamente orientate di individui riferibili a *Probolocuspis espahkensis*. x 70  
 – Variously oriented sections of specimens referred to *Probolocuspis espahkensis*. x 70

La microfacies di fig. 1 e gli individui delle figg. 2-4, provengono dalla sezione stratigrafica del Monte Meta, Gran Sasso d'Italia (Abruzzo).  
 Biozona a *Triasina hatkeni* e *Griphoporella curvata*.  
 – The microfacies of fig. 1 and the specimens of figs. 2-4, from Meta Mt., Gran Sasso d'Italia (Abruzzo).  
*Triasina hatkeni* and *Griphoporella curvata* biozone.

RETICO

RHAETIAN

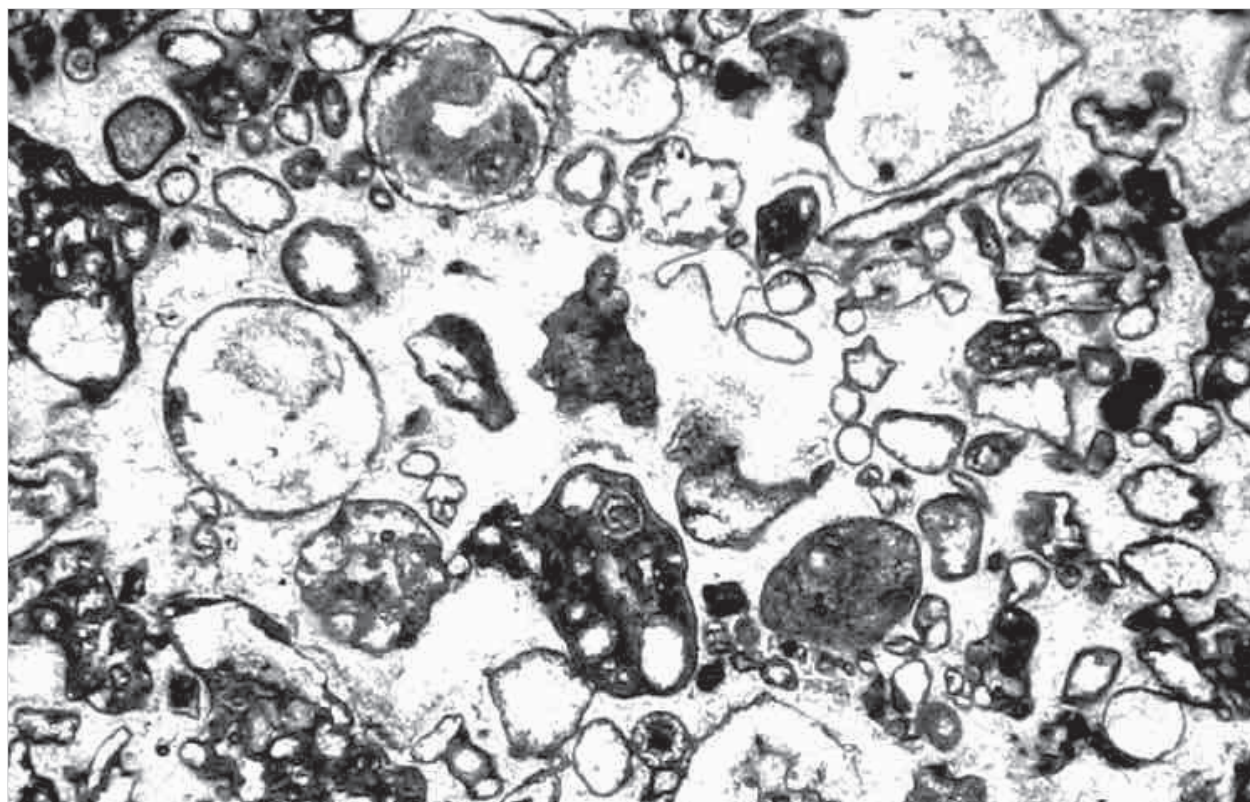
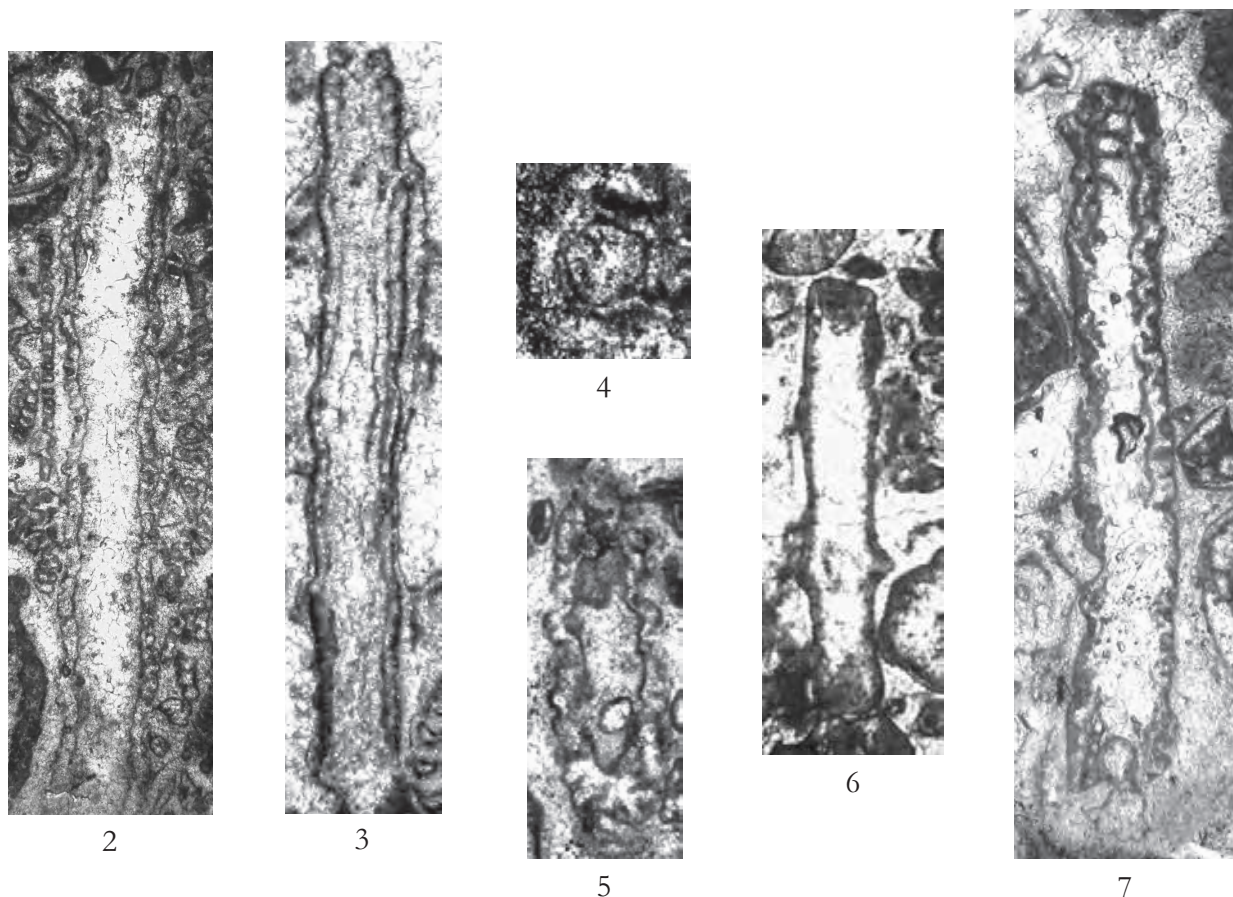


Fig. 1 – Rudstone con *Asterocalculus heraki*, Involutinidae, *Dissocladella bystrickyi*, resti di Gastropoda.  $\times 10$   
– Rudstone with *Asterocalculus heraki*, *Involutinidae*, *Dissocladella bystrickyi*, *Gastropoda* remains.  $\times 10$



Figg. 2-7 – Sezioni variamente orientate di individui riferibili a *Asterocalculus heraki*.  $\times 35$   
– Variously oriented sections of specimens referred to *Asterocalculus heraki*.  $\times 35$

La microfacies di fig. 1 e gli individui delle figg. 2-7, provengono dalle sezioni stratigrafiche del Monte Meta, Gran Sasso d'Italia (Abruzzo).

Biozona a *Triasina hantkeni* e *Griphoporella curvata*.

– The microfacies of fig. 1 and the specimens of figs. 2-7, from Meta Mt. stratigraphic sections, Gran Sasso d'Italia (Abruzzo).  
*Triasina hantkeni* and *Griphoporella curvata* biozone.

RETICO

RHAETIAN

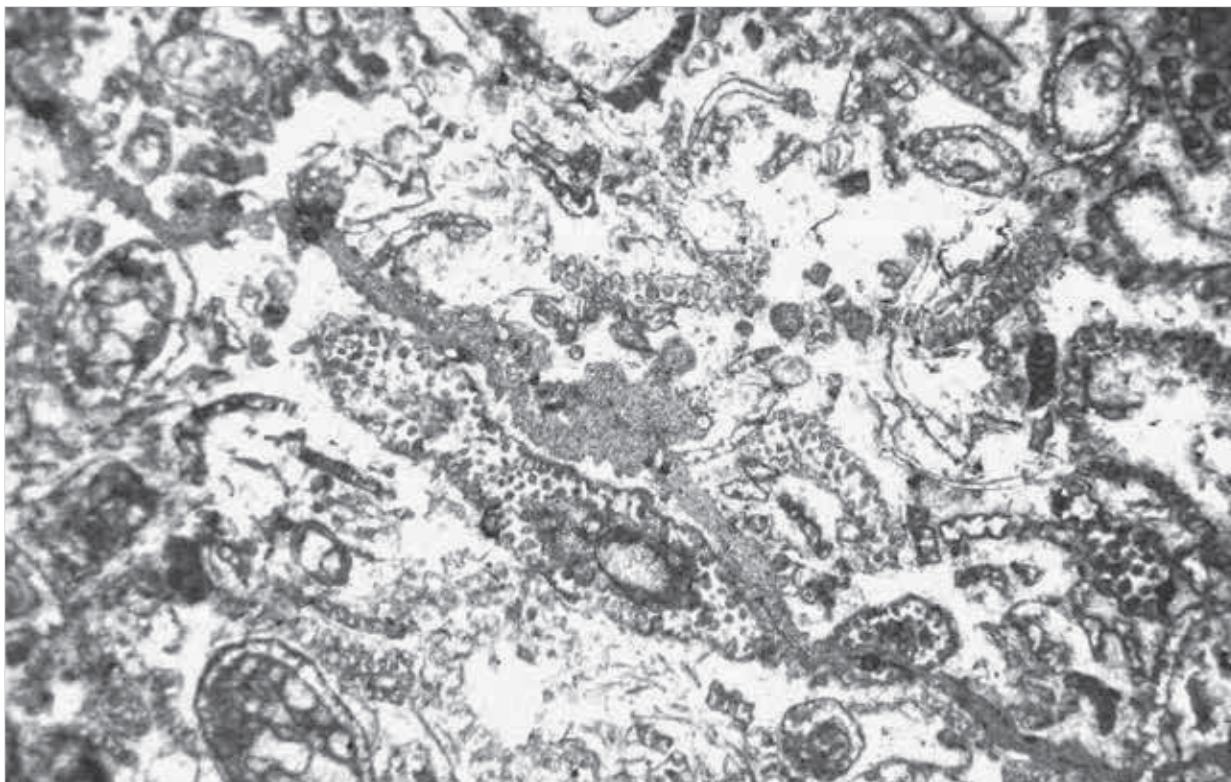
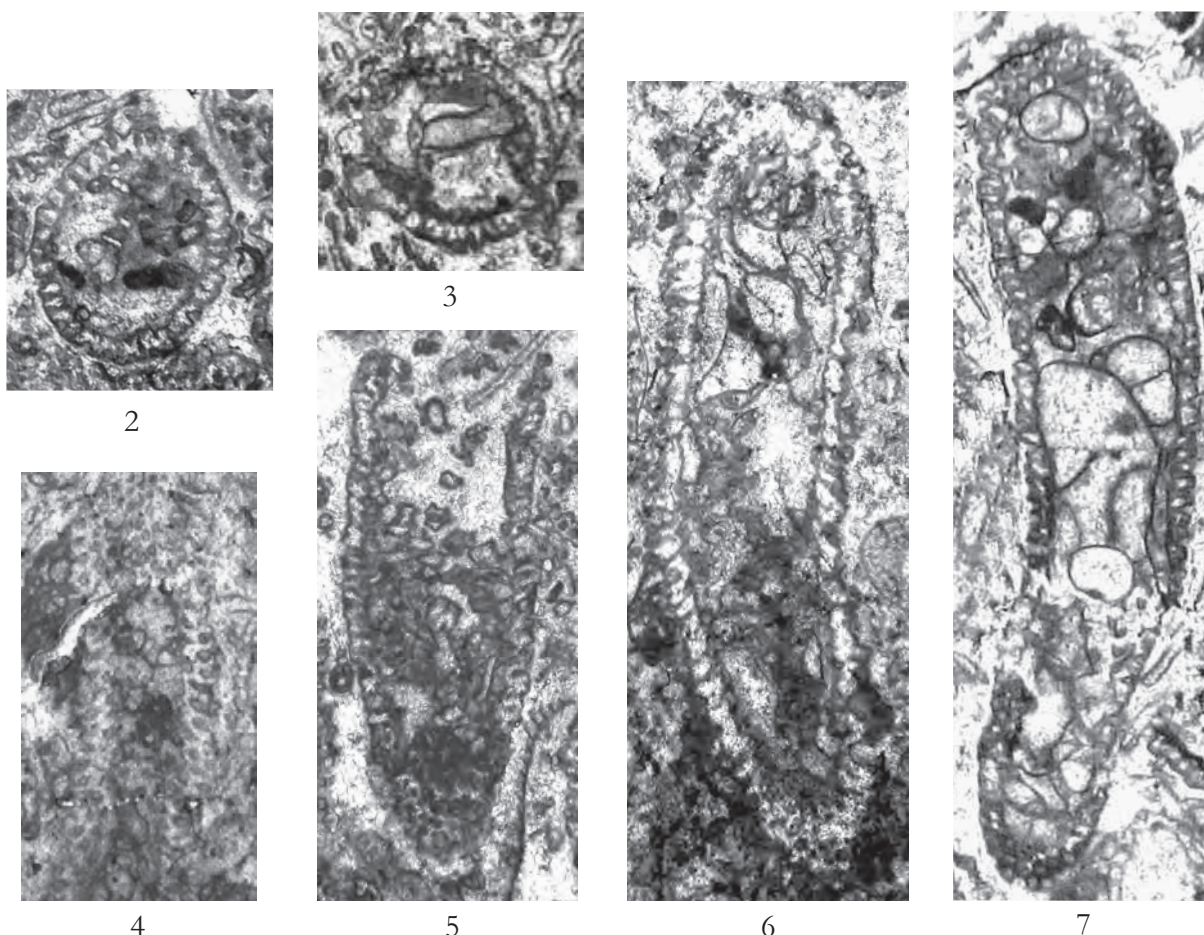


Fig. 1 – Rudstone con *Griphoporella curvata*, *Dissocladella bystrickyi*, resti di Mollusca.  
– Rudstone with *Griphoporella curvata*, *Dissocladella bystrickyi*, *Mollusca* remains.

x 12  
x 12



Figg. 2-7 – Sezioni variamente orientate di individui riferibili a *Griphoporella curvata*.  
– Variously oriented sections of specimens referred to *Griphoporella curvata*.

x 15  
x 15

La microfacies di fig. 1 e gli individui delle figg. 2-7, provengono dalla sezione stratigrafica del Monte Meta, Gran Sasso d'Italia (Abruzzo) e Monte Cefalo, Monti Aurunci (Lazio meridionale).  
Biozona a *Triasina hantkeni* e *Griphoporella curvata*.  
– The microfacies of fig. 1 and the specimens of figs. 2-7, from Meta Mt. stratigraphic section, Gran Sasso d'Italia (Abruzzo) and Cefalo Mt., Aurunci Mts. (Southern Latium).  
*Triasina hantkeni* and *Griphoporella curvata* biozone.

RETICO

RHAETIAN

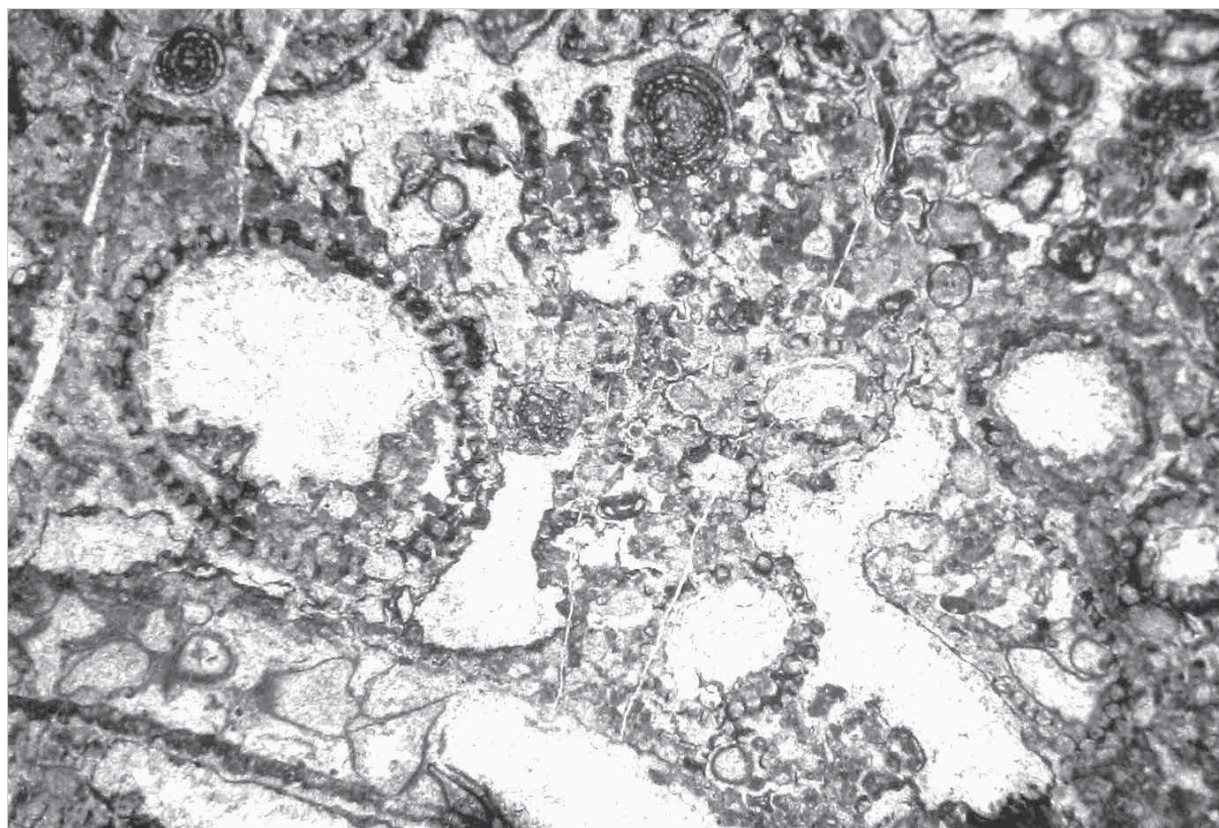
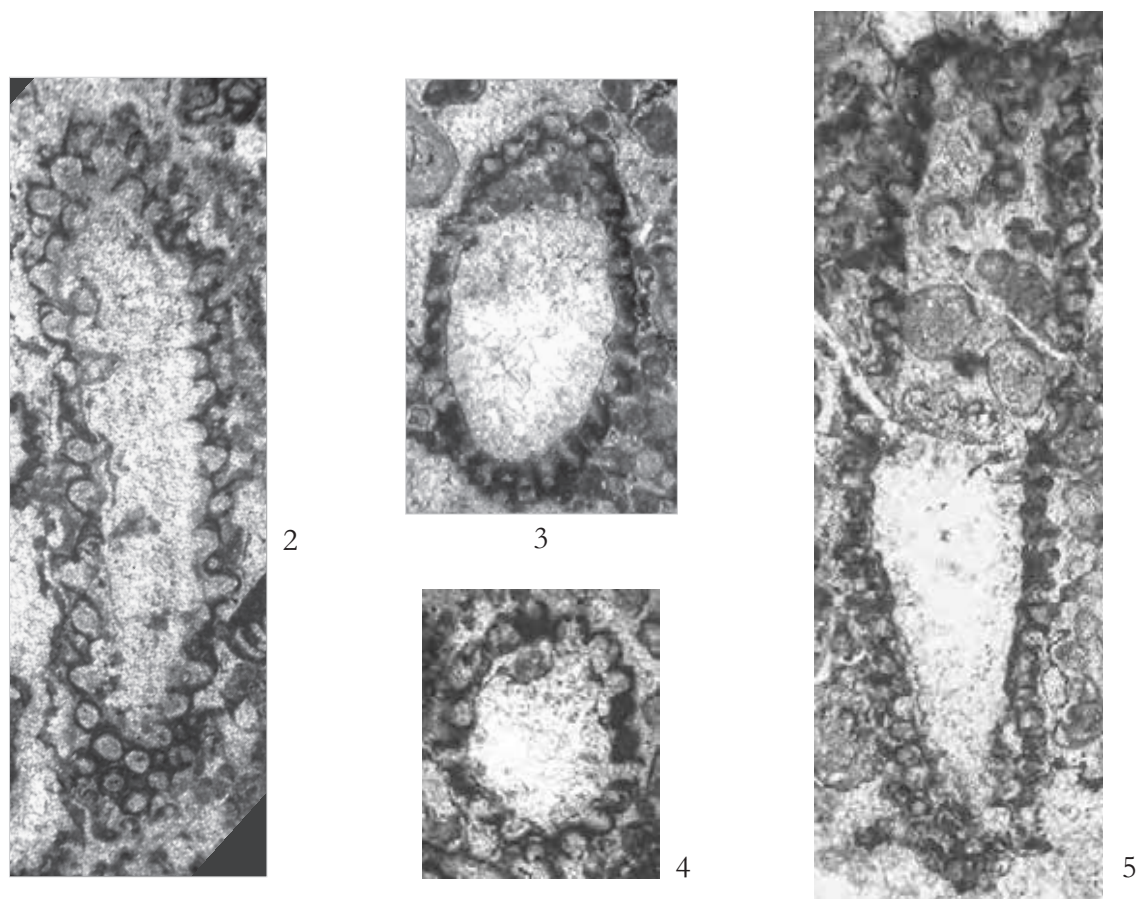


Fig. 1 – Rudstone con *Gyroporella vesiculifera*, *Griphoporella curvata*, *Triasina hantkeni*.  $\times 15$   
 – Rudstone with *Gyroporella vesiculifera*, *Griphoporella curvata*, *Triasina hantkeni*.  $\times 15$



Figg. 2-5 – Sezioni variamente orientate di individui riferibili a *Gyroporella vesiculifera*.  $\times 20$   
 – Variously oriented sections of specimens referred to *Gyroporella vesiculifera*.  $\times 20$

La microfacies di fig. 1 e gli individui delle figg. 2-5, provengono dalle sezioni stratigrafiche del Monte Carbonaro e Monte Cefalo, Monti Aurunci (Lazio meridionale).  
 Biozona a *Triasina hantkeni* e *Griphoporella curvata*.  
 – The microfacies of fig. 1 and the specimens of figs. 2-5, from Carbonaro Mt. and Cefalo Mt. stratigraphic sections, Aurunci Mts. (Southern Lazio).  
*Triasina hantkeni* and *Griphoporella curvata* biozone.

RETICO  
 RHAETIAN

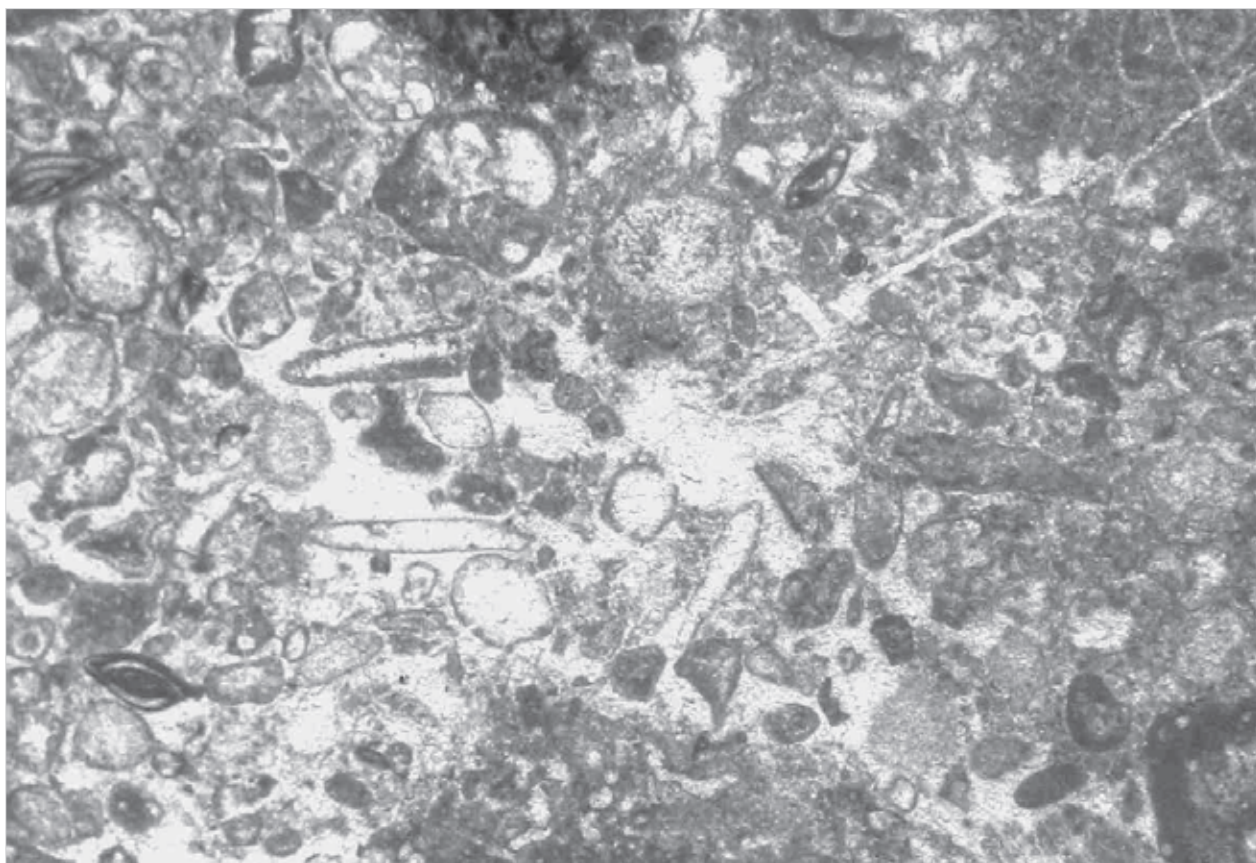
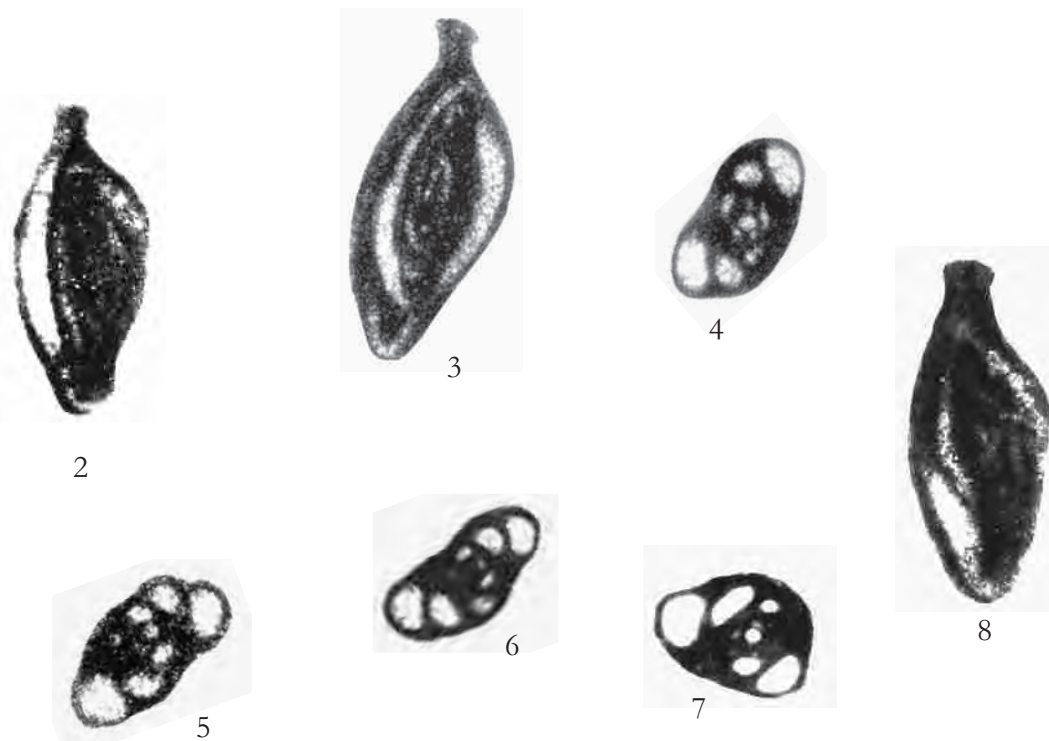


Fig. 1 – Packstone con *Karaburunia rhaetica* n. sp., Involutinidae, Duostominidae, *Dissocladella bystrickyi*, resti di Mollusca.  $\times 35$

– Packstone with *Karaburunia rhaetica* n. sp., Involutinidae, Duostominidae, *Dissocladella bystrickyi*, Mollusca remains.  $\times 35$



Figg. 2-8 – Sezioni variamente orientate di individui riferibili a *Karaburunia rhaetica* n. sp.  $\times 70$   
– Variously oriented sections of specimens referred to *Karaburunia rhaetica* n. sp.  $\times 70$

La microfacies di fig. 1 e gli individui delle figg. 2-8, provengono dalle sezioni stratigrafiche di Monte Cefalo e Monte Carbonaro, Monti Aurunci (Lazio meridionale).

Parte superiore della biozona a *Triasina hantkeni* e *Griphoporella curvata*.

– The microfacies of fig. 1 and the specimens of figs. 2-8, from Cefalo Mt. and Carbonaro Mt., Aurunci Mts. (Southern Lazio) stratigraphic sections.

Upper part *Triasina hantkeni* and *Griphoporella curvata* biozone.

RETICO SUPERIORE

UPPER RHAETIAN



Fig. 1 – Rudstone con “*Rivularia*” *kurdistanensis* e Valvulinidae. x 40  
 – Rudstone with “*Rivularia*” *kurdistanensis* and Valvulinidae. x 40

Sezione stratigrafica del Monte della Selva, Gran Sasso d’Italia (Abruzzo).  
 Biozona a Valvulinidae e Rivulariaceae.

HETTANGIANO SUPERIORE

– *Della Selva Mt. stratigraphic section, Gran Sasso d’Italia (Abruzzo).*  
*Valvulinidae and Rivulariaceae biozone.*

UPPER HETTANGIAN

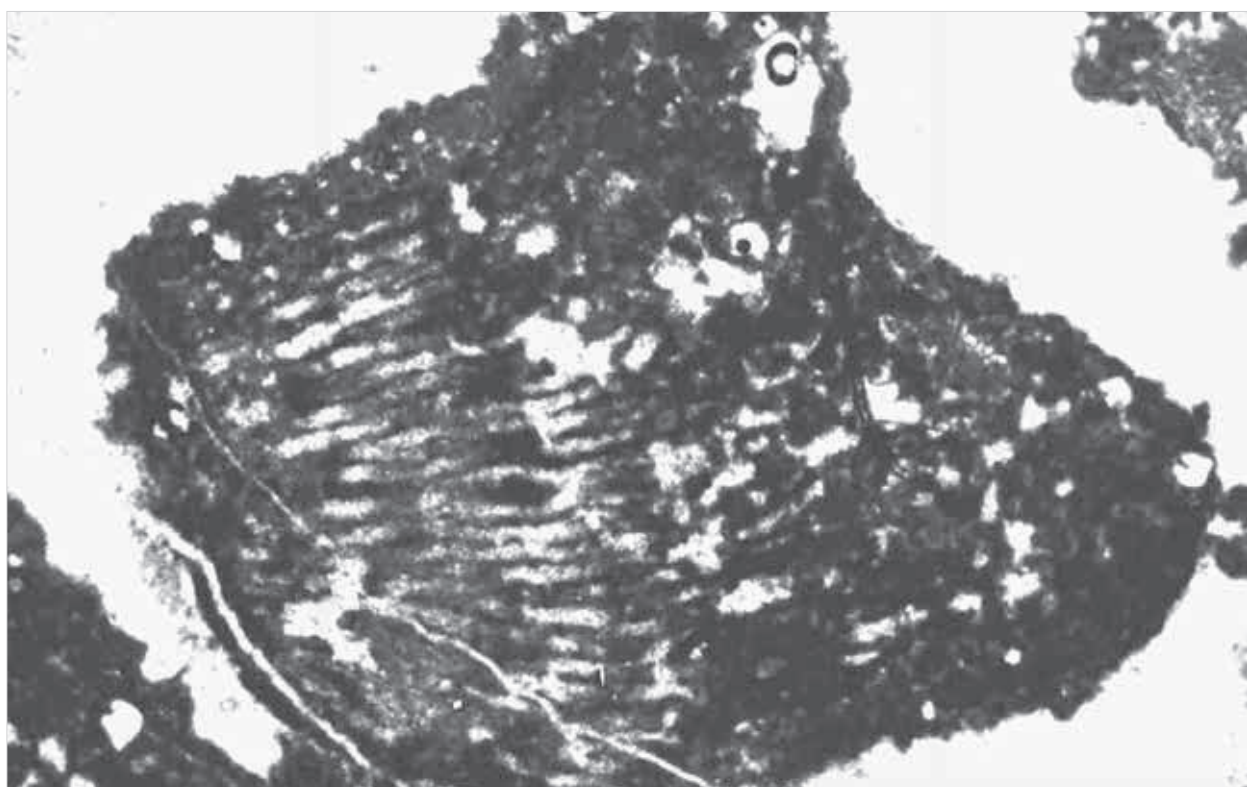


Fig. 2 – Rudstone con *Garwoodia fluegeli*. x 50  
 – Rudstone with *Garwoodia fluegeli*. x 50

Sezione stratigrafica del Monte della Selva, Gran Sasso d’Italia (Abruzzo).  
 Biozona a Valvulinidae e Rivulariaceae.

HETTANGIANO SUPERIORE

– *Della Selva Mt. stratigraphic section, Gran Sasso d’Italia (Abruzzo).*  
*Valvulinidae and Rivulariaceae biozone.*

UPPER HETTANGIAN

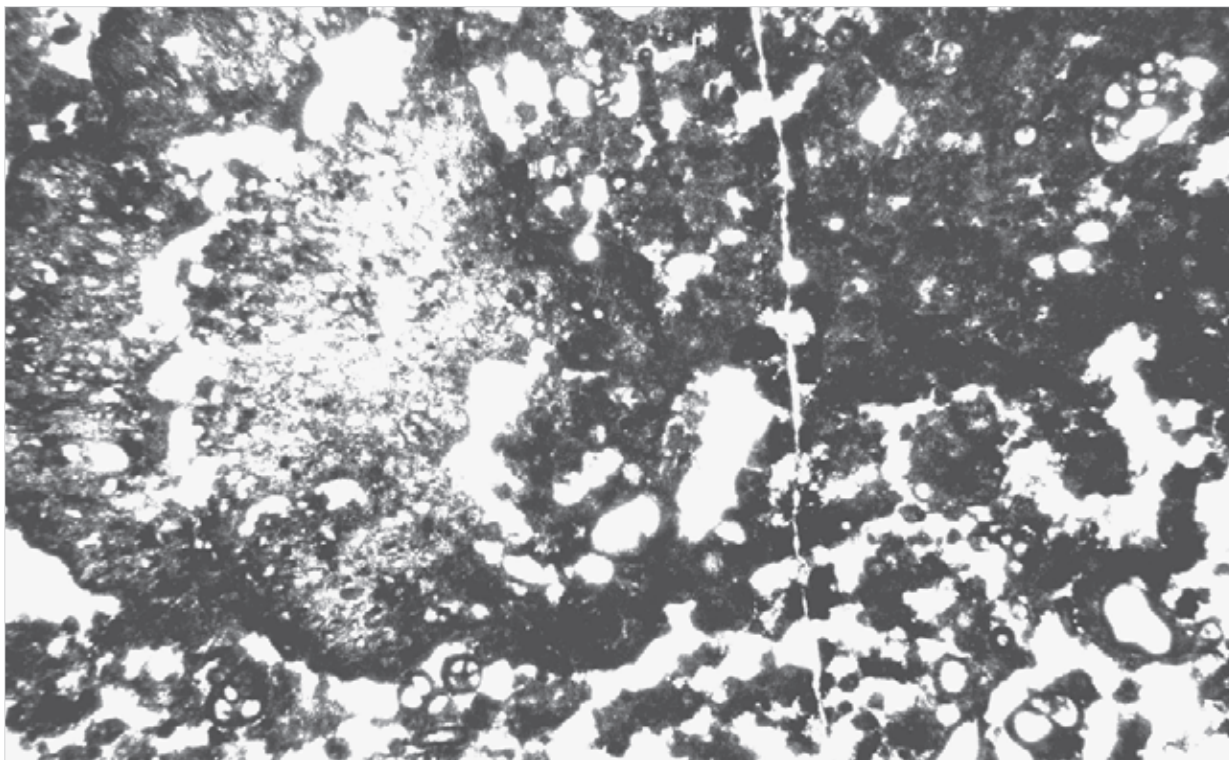


Fig. 1 – Rudstone con Rivulariaceae e Valvulinidae. x 35  
– Rudstone with Rivulariaceae and Valvulinidae. x 35

Sezione stratigrafica del Monte della Selva, Gran Sasso d'Italia (Abruzzo).  
Biozona a Valvulinidae e Rivulariaceae.

– Della Selva Mt. stratigraphic section, Gran Sasso d'Italia (Abruzzo).  
Valvulinidae and Rivulariaceae biozone.

HETTANGIANO SUPERIORE

UPPER HETTANGIAN

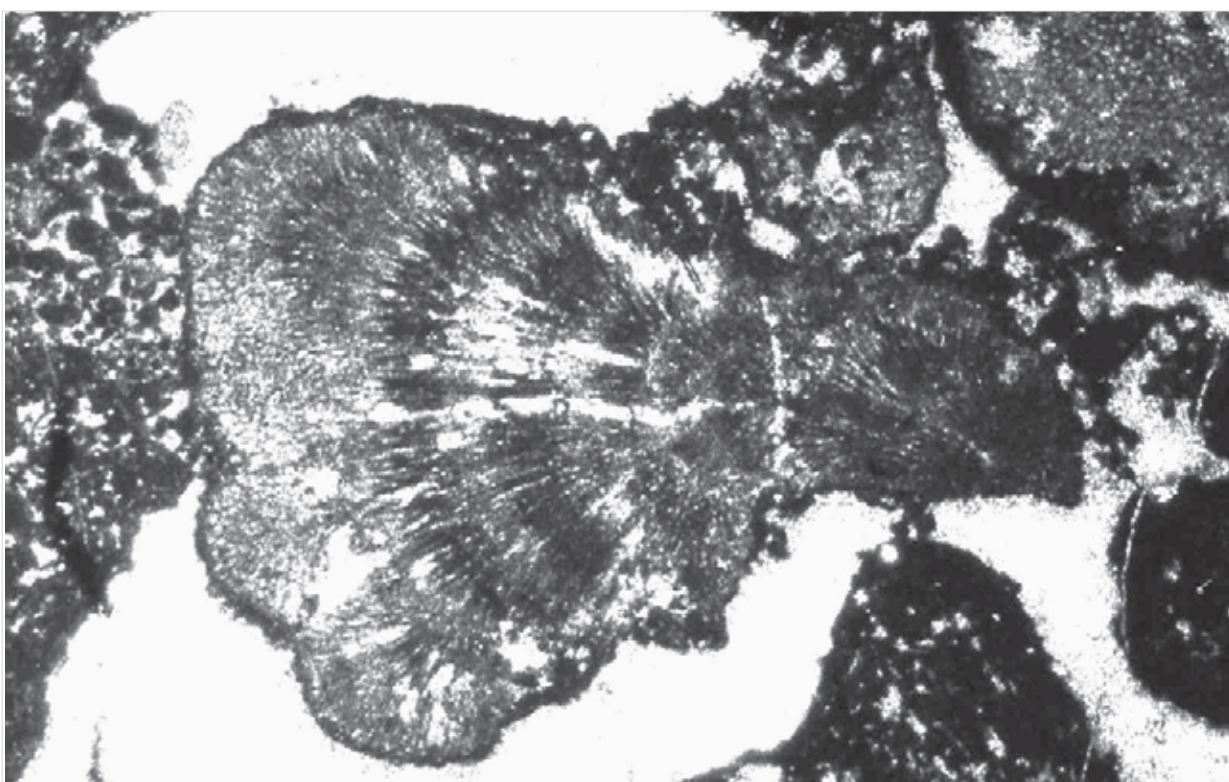


Fig. 2 – Rudstone con “Rivularia” lissaviensis e altre Porostromata. x 15  
– Rudstone with “Rivularia” lissaviensis and other Porostromata. x 15

Sezione stratigrafica del Monte della Selva, Gran Sasso d'Italia (Abruzzo).

Biozona a Valvulinidae e Rivulariaceae.

– Della Selva Mt. stratigraphic section, Gran Sasso d'Italia (Abruzzo).  
Valvulinidae and Rivulariaceae biozone.

HETTANGIANO SUPERIORE

UPPER HETTANGIAN

Tavola 23

Plate 23

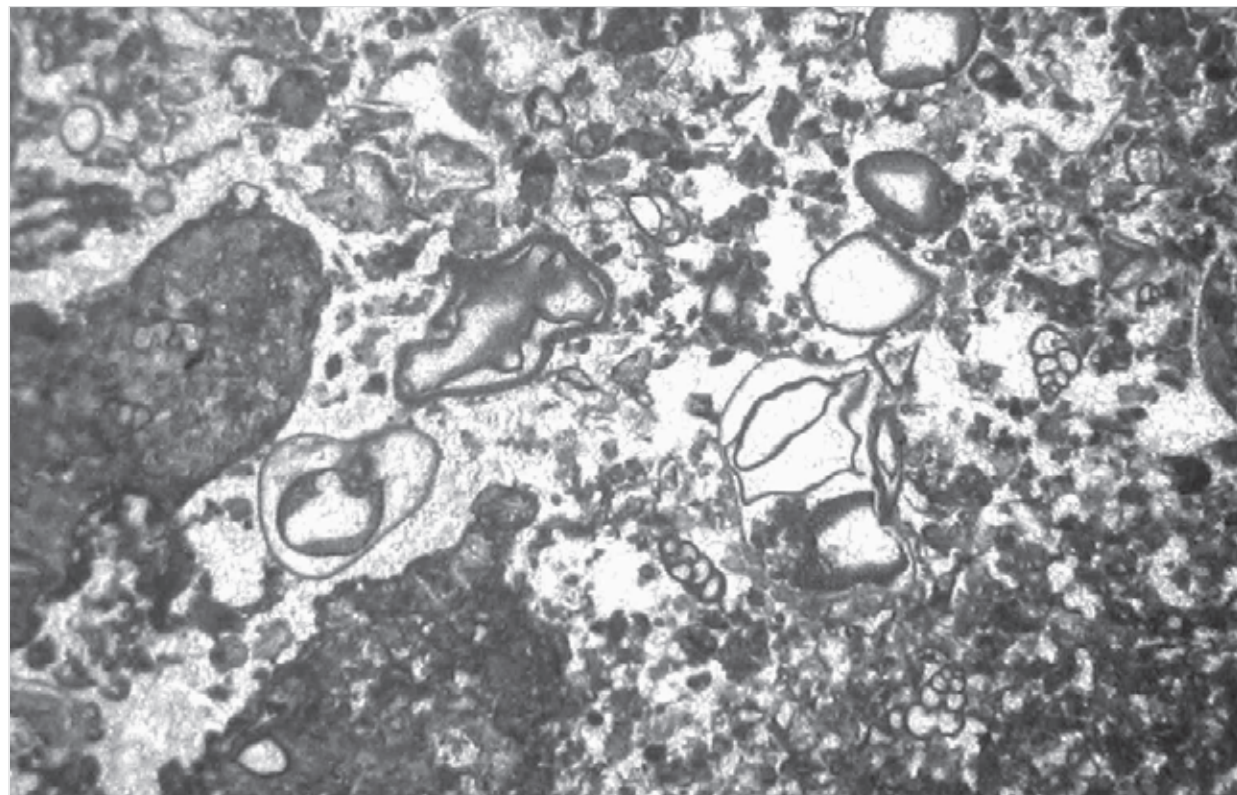


Fig. 1 – Bindstone con *Thaumatoporella parvovesiculifera*, Valvulinidae. x 20  
 – Bindstone with *Thaumatoporella parvovesiculifera*, Valvulinidae. x 20

Sezione stratigrafica del Monte Cefalo, Monti Aurunci (Lazio meridionale).

**HETTANGIANO – SINEMURIANO INFERIORE**

## *- Cefalo Mt. stratigraphic section, Aurunci Mts. (Southern Latium).*

ANCHANG SINMEMORIANO INFERORE

### *Thaumatoporella parvovesiculifera* biozone.

HETTANGIAN – LOWER SINEMURIAN

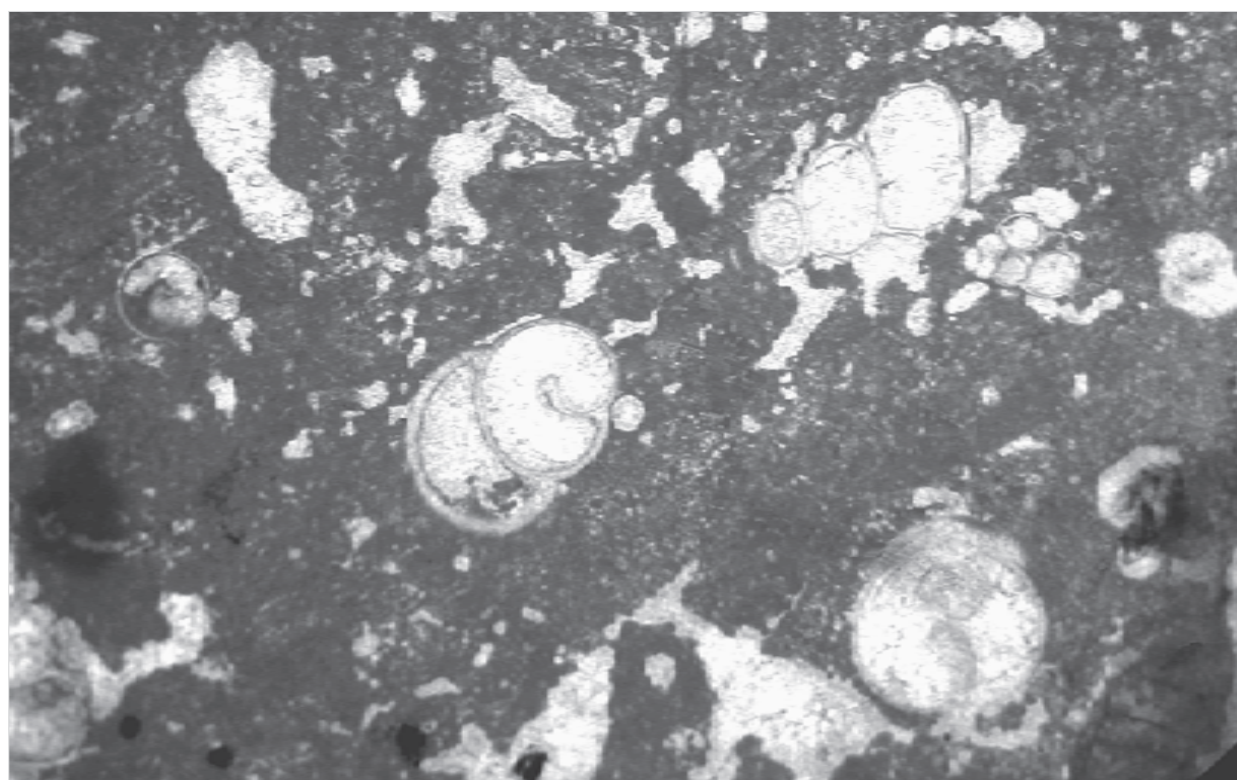


Fig. 2 – Floatstone con fenestrae e Gastropoda. x 15  
 – *Fenestral floatstone with Gastropoda.* x 15

Sezione stratigrafica del Monte Cefalo, Monti Aurunci (Lazio meridionale).

Biozona a *Thaumatomoporella parvovesiculifera*. HETTANGIANO – SINEMURIANO INFERIORE

## Biozona a Thaumiatoporella parvovesiculifera. — HET — Cefalo Mt. stratigraphic section, Aurunci Mts. (Southern Latium).

HETTANGIAN – LOWER SINEMURIAN

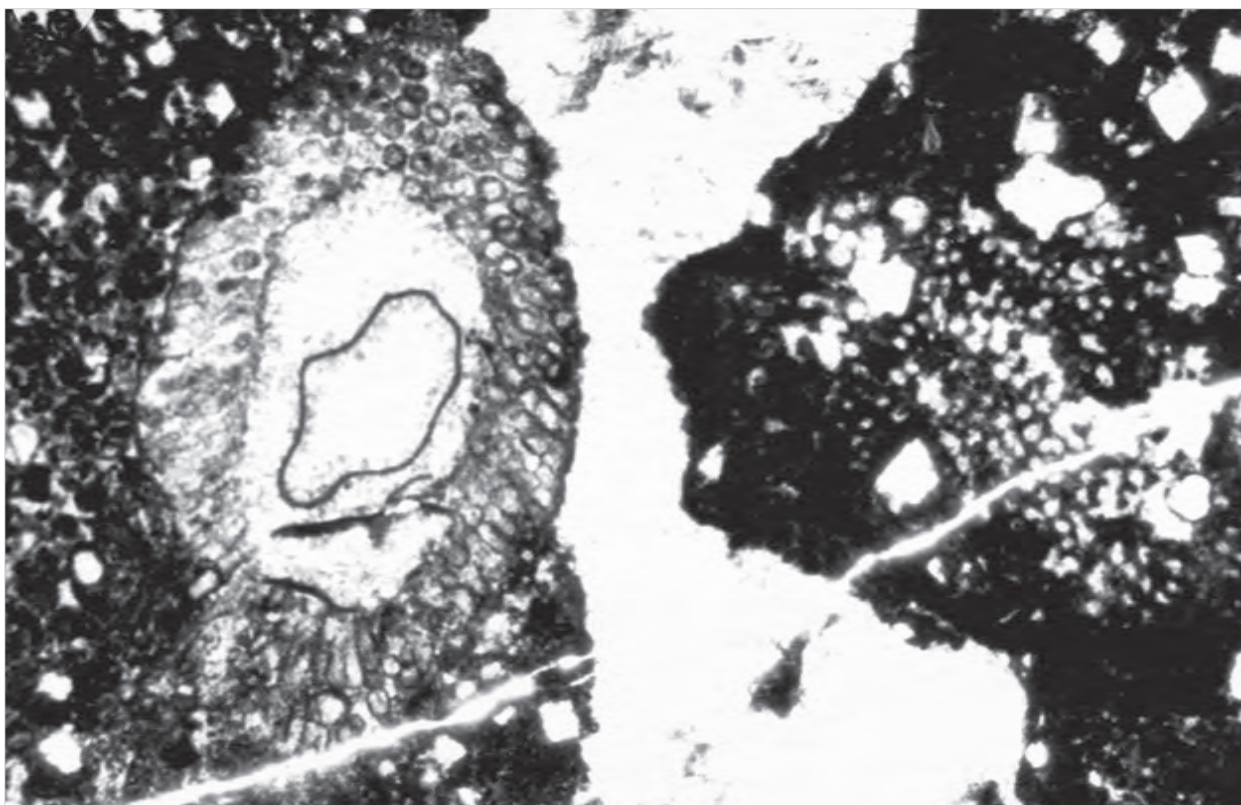


Fig. 1 – Rudstone con *Palaeodasycladus mediterraneus* e *Rivulariaceae*.  $\times 20$   
 – Rudstone with *Palaeodasycladus mediterraneus* and *Rivulariaceae*.  $\times 20$

Sezione stratigrafica del Monte della Selva, Gran Sasso d'Italia (Abruzzo).  
 Biozona a *Palaeodasycladus mediterraneus* e “*Rivularia*” *piae*.

– *Della Selva Mt. stratigraphic section, Gran Sasso d'Italia (Abruzzi).*  
*Palaeodasycladus mediterraneus* and “*Rivularia*” *piae* biozone.

SINEMURIANO INFERIORE

LOWER SINEMURIAN

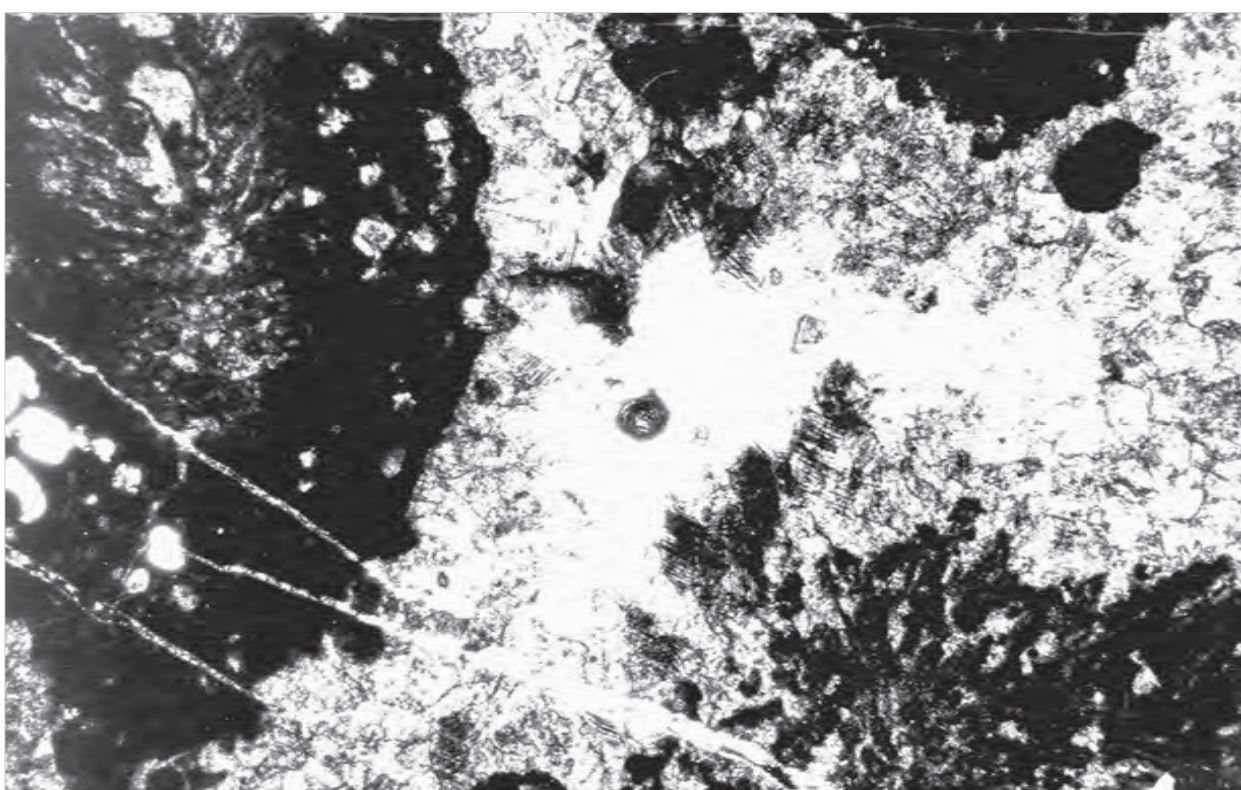


Fig. 2 – Rudstone parzialmente dolomitizzato con *Palaeodasycladus mediterraneus* e *Rivulariaceae*.  $\times 30$   
 – Partially dolomitized rudstone with *Palaeodasycladus mediterraneus* and *Rivulariaceae*.  $\times 30$

Sezione stratigrafica di Pizzo Cefalone, Gran Sasso d'Italia (Abruzzo).

Biozona a *Palaeodasycladus mediterraneus* e “*Rivularia*” *piae*.  
 – *Pizzo Cefalone stratigraphic section, Gran Sasso d'Italia (Abruzzi).*  
*Palaeodasycladus mediterraneus* and “*Rivularia*” *piae* biozone.

SINEMURIANO INFERIORE

LOWER SINEMURIAN

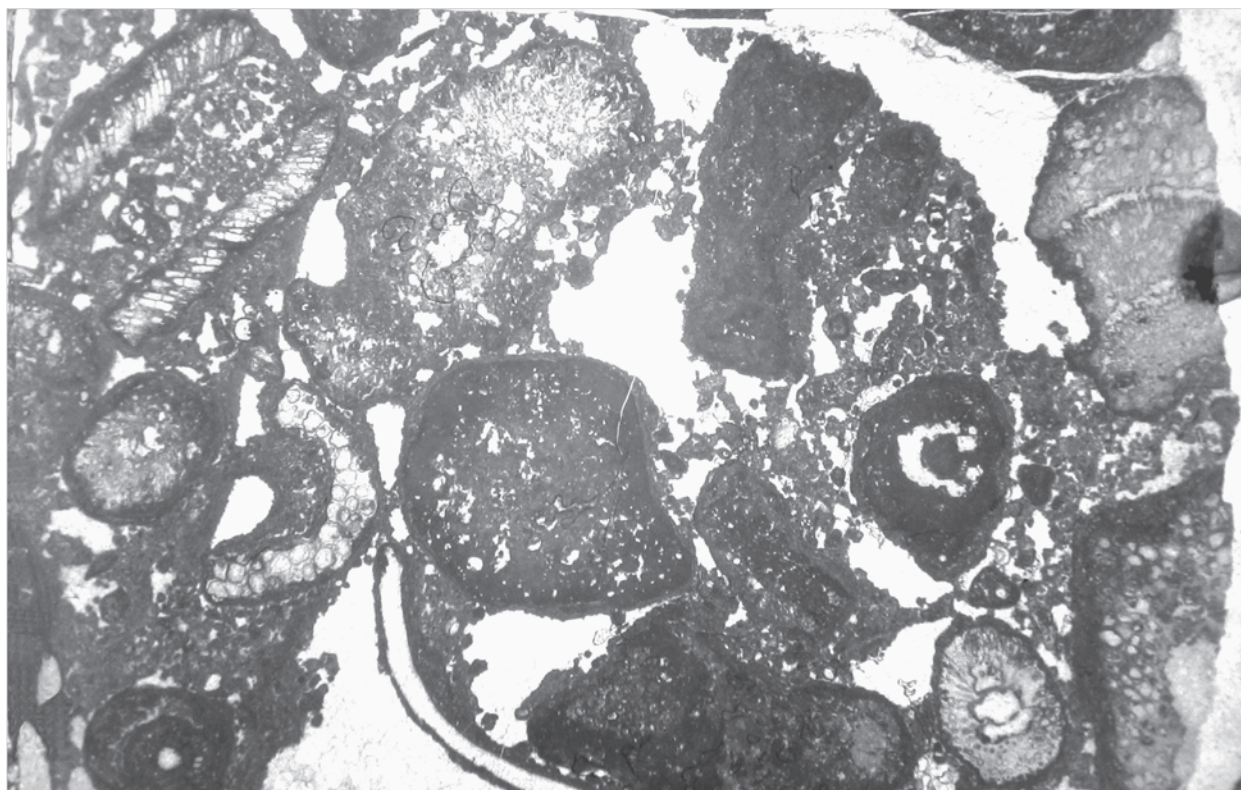


Fig. 1 – Rudstone con oncidi, *Palaeodasycladus mediterraneus* e Porostromata. x 20  
– Rudstone with oncoids, *Palaeodasycladus mediterraneus* and Porostromata. x 20

Sezione stratigrafica del Monte della Selva, Gran Sasso d'Italia (Abruzzo).

Biozona a *Palaeodasycladus mediterraneus* e “Rivularia” piae.

– *Della Selva Mt. stratigraphic section, Gran Sasso d’Italia (Abruzzo).*

*Palaeodasycladus mediterraneus* and “Rivularia” piae biozone.

SINEMURIANO INFERIORE

LOWER SINEMURIAN

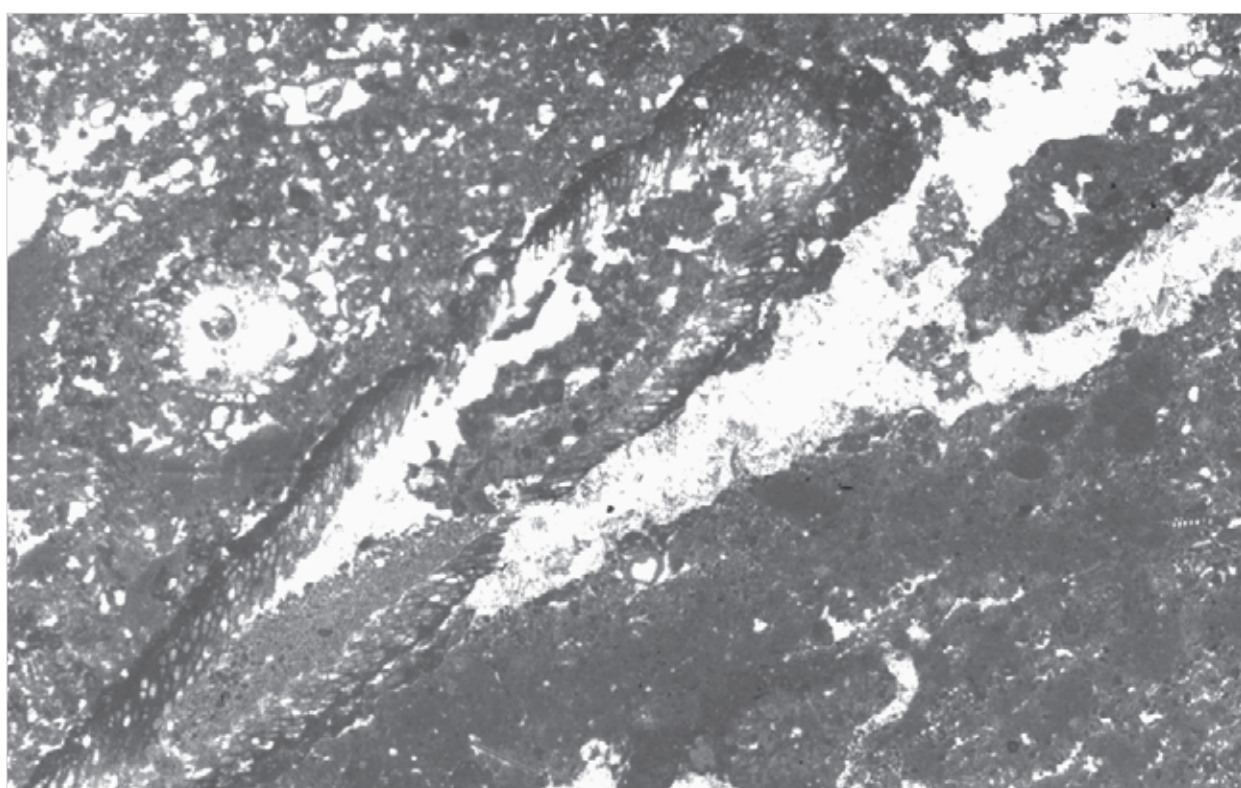


Fig. 2 – Floatstone con *Palaeodasycladus mediterraneus*, *Thaumatoporella parvovesiculifera*, Valvulinidae e altri Foraminiferi bentonici. x 25

– *Floatstone with Palaeodasycladus mediterraneus, Thaumatoporella parvovesiculifera, Valvulinidae and other benthic Foraminifera.* x 25

Sezione stratigrafica di Vallunga, Monti Reatini settentrionali (Lazio settentrionale).

Biozona a *Palaeodasycladus mediterraneus* e “Rivularia” piae.

SINEMURIANO INFERIORE

– *Vallunga stratigraphic section, northern Reatini Mts. (Northern Latium).*

*Palaeodasycladus mediterraneus* and “Rivularia” piae biozone.

LOWER SINEMURIAN